

## بررسی اثر تنش شوری بر شاخص‌های بیوشیمیایی ژنوتیپ‌های نخود کابلی (*Cicer arietinum* L.)

جعفر نباتی<sup>۱\*</sup>، رضوان رمضان‌نژاد<sup>۲</sup> و احمد نظامی<sup>۳</sup>

<sup>۱</sup> گروه بقولات، پژوهشکده علوم گیاهی، دانشگاه فردوسی مشهد، ایران

<sup>۲</sup> دکتری فیزیولوژی گیاهی، جهاد دانشگاهی مشهد، ایران

<sup>۳</sup> گروه اگروتکنولوژی، دانشگاه فردوسی مشهد، ایران

(تاریخ دریافت: ۱۴۰۱/۰۴/۱۸، تاریخ پذیرش نهایی: ۱۴۰۱/۰۹/۲۹)

### چکیده

شوری، از مهم‌ترین تنش‌های غیرزیستی است که تأثیر نامطلوبی بر رشد و تولید گیاهان زراعی دارد. نخود مانند بیشتر حبوبات به تنش شوری حساس است. این مطالعه، به منظور به‌گزینی ژنوتیپ‌های متحمل به شوری نخود کابلی صورت گرفت. برای این منظور، ۷۲ ژنوتیپ نخود از نظر میزان تحمل به شوری  $۱۲\text{dS m}^{-1}$  غربالگری شدند. این مطالعه در قالب طرح کاملاً تصادفی با سه تکرار به صورت آبکشت (هیدروپونیک) انجام شد. از میان ژنوتیپ‌های مورد بررسی، ۵۳ ژنوتیپ دارای بقا بیش از ۷۵ درصد بودند، و هیچ ژنوتیپی بقای کمتر از ۲۵ درصد نداشت. بیشترین میانگین محتوای کربوهیدرات‌های محلول، فنل کل، پرولین، پتانسیل اسمزی، مهار فعالیت رادیکال آزاد DPPH و محتوای نسبی آب برگ در ژنوتیپ‌های دارای دامنه بقا ۷۶-۱۰۰ درصد مشاهده شد. میانگین محتوای مالون دی‌آلدئید در ژنوتیپ‌های دارای دامنه بقا ۲۶-۵۰ درصد بیشترین مقدار خود را داشت. نتایج تجزیه خوشه‌ای نشان‌دهنده برتری نسبی ژنوتیپ‌های گروه دوم شامل MCC1037، MCC1212، MCC1286، MCC1138، MCC1278، MCC1129، MCC1140، MCC1234، MCC1299، MCC1289، MCC1041، MCC1132، MCC1276، MCC1211، MCC1043، MCC1147 و MCC1148 در بیشتر صفات مورد مطالعه بود. به نظر می‌رسد که ژنوتیپ‌های نخود برای تحمل نسبت به شوری از مکانیسم‌های متعددی استفاده می‌کنند، که این امر در به‌گزینی ژنوتیپ‌های بیشتر متحمل به شوری در نخود کابلی کمک می‌کند.

کلمات کلیدی: بقا، به‌گزینی، تحمل به شوری، آبکشت

### مقدمه

(Hussain *et al.*, 2019). گیاهان در معرض تنش شوری، تغییرات نامطلوب فیزیولوژیکی، بیوشیمیایی و در نهایت کاهش عملکرد را نشان می‌دهند. اختلالات ایجاد شده به واسطه شوری در گیاهان عمدتاً شامل کاهش فتوسنتز، عدم تعادل یونی و آسیب اکسیداتیو به پروتئین‌ها (به‌ویژه آنزیم‌ها) است

شوری خاک، یک معضل زیست‌محیطی اساسی و رو به گسترش در جهان است (Ahammed *et al.*, 2018). غلظت بیش از حد نمک (بالا تر از حد آستانه، معادل  $۳\text{--}۴\text{dS m}^{-1}$ ) در خاک، آب و گیاه تحت عنوان شوری تعریف می‌شود

(2015) نقش دارند. اثر کربوهیدرات‌ها در تنظیم بیان انواع ژن‌های دخیل در فتوسنتز، تنفس و تثبیت غشای سلول مشخص شده است (Wang et al., 2015).

نخود (*Cicer arietinum* L.) یکی از گیاهان مهم در خانواده حبوبات است که به دلیل فواید تغذیه‌ای بالا و خواص بهبود نیتروژن خاک شناخته شده است (Boschin et al., 2015; Araujo et al., 2014) و جز کلیدی رژیم غذایی جنوب آسیا و مدیترانه است. نخود به‌خصوص به تنش شوری حساس است و بهره‌وری آن بسته به سطح شوری می‌تواند از صفر تا ۱۰۰ درصد کاهش یابد (Turner et al., 2013). حتی پس از پژوهش‌های زیادی که برای بهبود تحمل به نمک در نخود انجام شده است، تا به امروز، تنها چند رقم مقاوم به نمک برای کشت تجاری در سراسر جهان آزاد شده است (Maliro et al., 2004). یکی از دلایل عمده ذکرشده، دشوار بودن تولید لاین‌های جدید با تحمل بالا به نمک از لحاظ ژنتیکی است (Berger et al., 2019). تنش شوری روی جوانه‌زنی، استقرار اولیه گیاهچه، رشد، تثبیت نیتروژن، گلدهی، رشد غلاف و پر شدن بذر نخود تأثیر می‌گذارد (Bulsecu et al., 2019). نتایج یک مطالعه نشان داد که تنش شوری گلدهی را در ژنوتیپ‌های حساس نخود نسبت به مقاوم آن به تأخیر انداخت. تصور می‌شود، این تأخیر به دلیل افزایش غلظت سدیم در برگ‌های جوان‌تر و تجمع پتاسیم در برگ‌های سبز مسن، در ژنوتیپ‌های حساس نسبت به ژنوتیپ‌های متحمل نخود باشد (Pushpavalli et al., 2016). پیچیده است که شامل بسیاری از پاسخ‌های فیزیولوژیکی و بیوشیمیایی با القای ژن‌های متعدد در مواجهه با تنش شوری است (Wu et al., 2013). از این رو، آزمایش‌ها باید شامل غربالگری ژرم پلاسما، تعیین خصوصیات ژن‌ها، کشف جایگاه‌های کمی جدید صفت (QTL) و در نهایت، ژن‌های منتخب با استفاده از ژنتیک مدرن باشد (Awlia et al., 2017). مطالعه حاضر، به منظور غربالگری ۷۲ ژنوتیپ نخود تیپ کابلی نسبت به تنش شوری با بررسی برخی از مهم‌ترین شاخص‌های بیوشیمیایی آن صورت گرفت.

(Muchate et al., 2016). اثرات منفی تنش شوری بر رشد و نمو گیاهان به سمیت یون سدیم نسبت داده می‌شود که می‌تواند در غلظت‌های بالا در سیتوزول هموستازی یون پتاسیم را مختل کند و بر بیشتر آنزیم‌ها تأثیر منفی داشته باشد (Reginato et al., 2021). افزایش جذب سدیم از خاک، با جذب و متابولیسم مواد مغذی معدنی ضروری مانند فسفر، پتاسیم، نیتروژن و کلسیم توسط گیاهان رقابت کرده و آن‌ها را کاهش می‌دهد (Gupta and Huang, 2014). در شرایط تنش شوری، محتوای سدیم در اندام هوایی بیشتر از ریشه است. در برگ ژنوتیپ‌های حساس به شوری، عمدتاً تجمع سدیم در سلول‌های اپیدرمی بیشتر از سلول‌های مزوفیل است (Peng et al., 2017). از سوی دیگر، ژنوتیپ‌های متحمل به شوری، توانایی بالاتری برای حفظ نسبت پتاسیم به سدیم دارند. برای تنظیم اسمزی، تجمع سدیم در واکوئل به منظور به حداقل رساندن غلظت آن در سیتوپلاسم سلول بسیار مهم است (Maathuis et al., 2014). برای این منظور، آنتی‌پورترهای  $V\text{-PPase}$  و  $\text{Na}^+/\text{H}^+$ ،  $V\text{-ATPase}$  (Apse et al., 1999) و واکوئلی و دو پمپ  $\text{H}^+$ ، در جایگذاری سدیم در واکوئل‌ها نقش دارند (Dietz et al., 2001). غلظت بالای کلرید سدیم عمدتاً باعث سمیت یونی، تنش اسمزی و اختلالات یون‌های معدنی مانند پتاسیم و کلسیم در گیاهان می‌شود (Munns and Tester, 2008). گیاهان مقاوم به شوری ممکن است دارای ویژگی‌های منحصر به فردی از نظر سازگاری با شرایط تنش شوری باشند. در این گیاهان، بیان ژن‌های پاسخ به تنش در جذب و انتقال نمک، حفظ عملکرد اسمزی و تحریک رشد گیاه در معرض شوری افزایش می‌یابد (Munns and Tester, 2008). در زمینه حفظ هموستازی اسمزی، اسمولیت‌های (مولکول‌های سازگار با عملکرد حفاظتی و حاوی نیتروژن) مختلفی مانند پرولین و گلیسین بتائین (Fatima et al., 2021)؛ قندهایی مانند ساکارز، ترهالوز و رافینوز (Gupta and Huang, 2014)، الکل‌های پلی‌هیدریک زنجیره مستقیم (پلیول‌ها) مانند مانیتول و سوربیتول (Conde et al., 2007) و الکل‌های پلی‌هیدریک حلقوی یا پلی‌ال‌های حلقوی (Kumari et al.,

## مواد و روش‌ها

در این پژوهش، به‌گزینی ۷۲ ژنوتیپ نخود تیپ کابلی در سطح تنش شوری  $12 \text{ dS m}^{-1}$  کلرید سدیم (NaCl)، در شرایط کشت هیدروپونیک، در قالب طرح کاملاً تصادفی با سه تکرار در گلخانه تحقیقاتی پژوهشکده علوم گیاهی دانشگاه فردوسی مشهد صورت گرفت. بذر ژنوتیپ‌های نخود مورد بررسی از بانک بذر حبوبات پژوهشکده علوم گیاهی دانشگاه فردوسی مشهد تهیه شد.

به‌منظور جوانه‌زنی بهتر بذور، قبل از انتقال آن‌ها به محیط هیدروپونیک، به مدت ۷۲ ساعت در ژرمیناتور جوانه‌دار شدند. بذور جوانه‌زده به گلخانه با متوسط دمای  $25 \pm 5$  درجه سانتی‌گراد و رطوبت نسبی  $60 \pm 10$  درصد انتقال یافت و در جعبه‌های پلاستیکی به ابعاد  $72 \times 50$  سانتی‌متر با ارتفاع ۲۰ سانتی‌متر حاوی ماسه کشت شدند. در هر جعبه چهار ژنوتیپ و از هر ژنوتیپ ۱۰ بذر کشت شد.

به‌مدت یک هفته پس از انتقال، بذور با آب بدون شوری آبیاری شدند و سپس تنش شوری (کلرید سدیم) معادل  $12 \text{ dS m}^{-1}$  همراه با محلول غذایی هوگلند (Hoagland and Arnon, 1950) اعمال شد. سامانه تغذیه به‌صورت بسته اعمال شد. محلول غذایی به‌صورت هفتگی جایگزین شده و میزان شوری محلول غذایی به‌صورت روزانه پایش و تنظیم شد. در مجموع، با احتساب  $2 \text{ dS m}^{-1}$  هدایت الکتریکی محلول غذایی هوگلند، هدایت الکتریکی آب آبیاری معادل  $14 \text{ dS m}^{-1}$  بود. چهار هفته بعد از اعمال تنش شوری (Kafi et al., 2020)، برخی از مهم‌ترین شاخص‌های بیوشیمیایی شامل محتوای رنگ‌دانه‌های فتوسنتزی (Dere et al., 1998)، فنل کل (Singleton and Rossi, 1965)، کربوهیدرات‌های محلول (Dubois et al., 1951)، پرولین (Bates et al., 1973)، مهار رادیکال آزاد DPPH (Abe et al., 1998)، مالون دی‌آلدئید (Heath and Parker, 1968)، محتوای نسبی آب برگ (Smart and Bingham, 1974) و پتانسیل اسمزی با استفاده از دستگاه اسمومتر مدل OM802.D Wogel از جوان‌ترین برگ کاملاً توسعه‌یافته اندازه‌گیری شد.

برای محاسبه درصد بقا، تعداد بوته‌های سبز شده قبل از اعمال تنش شوری و تعداد بوته‌های زنده چهار هفته پس از اعمال تنش شمارش و با استفاده از معادله ۱ درصد بقا محاسبه شد.

معادله (۱)

درصد بقا = (تعداد بوته قبل از تنش / تعداد بوته چهار هفته بعد از تنش)  $\times 100$

سپس، ژنوتیپ‌های مختلف براساس درصد بقا در چهار دامنه ۰-۲۵، ۲۶-۵۰، ۵۱-۷۵ و ۷۶-۱۰۰ گروه‌بندی شدند. تجزیه و تحلیل داده‌ها با استفاده از نرم‌افزار SPSS v.26 و مقایسه میانگین‌ها با استفاده از آزمون دانکن در سطح احتمال پنج درصد انجام شد.

## نتایج و بحث

نتایج نشان داد که چهار هفته بعد از اعمال تنش شوری  $12 \text{ dS m}^{-1}$ ، از نظر درصد بقا بین ژنوتیپ‌های نخود کابلی تفاوت معنی‌داری وجود دارد (جدول ۱، ۲ و ۳). مقایسه دامنه‌های مختلف درصد بقا نشان داد که از میان ۷۲ ژنوتیپ مورد بررسی، بیشترین تعداد ژنوتیپ (۵۳ ژنوتیپ) در دامنه بقا بیشتر از ۷۵ درصد قرار داشتند (شکل a ۱)، که در میان ۲۹ ژنوتیپ دارای دامنه بقا ۱۰۰ درصد بودند (جدول ۱). به همین ترتیب، بیشترین درصد فراوانی ژنوتیپ‌ها (۷۴ درصد) نیز مربوط به این دامنه بقا بود (شکل b ۱). دامنه بقا ۵۱ - ۷۵ درصد و ۲۶ - ۵۰ درصد نیز به‌ترتیب دارای ۱۳ و شش ژنوتیپ (۱۸ و ۸ درصد فراوانی) بودند. این در حالی است که هیچ یک از ژنوتیپ‌های مورد بررسی، دارای دامنه بقا کمتر از ۲۵ درصد نبودند (شکل ۱- a و b). بر اساس نتایج حاصل، به‌نظر می‌رسد که در تنش شوری  $12 \text{ dS m}^{-1}$ ، ژنوتیپ‌های نخود کابلی از نظر تحمل به شوری تفاوت‌های قابل‌توجهی داشتند. از طرفی دیگر، هیچ یک از ژنوتیپ‌ها از نظر میزان حساسیت به این سطح از تنش شوری، در حدی نبودند که در محدوده بقا کمتر از ۲۵ درصد قرار گیرند. باید توجه داشت که میزان تحمل به شوری که این ژنوتیپ‌ها در شرایط هیدروپونیک از

جدول ۱- اثر تنش شوری  $12dSm^{-1}$  کلرید سدیم بر صفات مورد بررسی در ژنوتیپ‌های نخود کابلی در دامنه بقای ۷۶ تا ۱۰۰ درصد

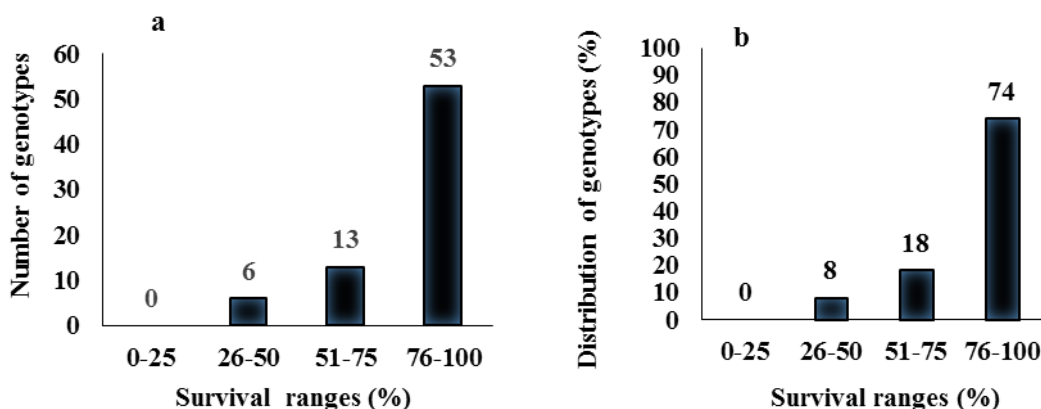
MCC	۱	۲	۳	۴	۵	۶	۷	۸	۹	۱۰	۱۱	۱۲	۱۳
۱۲۳۶	۱۰۰	۰/۸۱۹	۰/۳۹۲	۲/۱۷	۰/۲۰۰	۱/۴۱	۲۱۴	۰/۴۱۰	۱۵/۲۰	-۲/۴۱	۳/۵۷	۰/۵۴۱	۷۰/۹۳
۱۲۹۹	۱۰۰	۰/۸۴۹	۰/۴۰۲	۲/۱۱	۰/۲۱۱	۱/۴۶	۲۰۵	۰/۳۷۰	۱۸/۵۰	-۳/۲۲	۷/۶۷	۰/۸۷	۵۸/۵۰
۱۲۹۸	۱۰۰	۰/۷۱۳	۰/۳۶۲	۱/۹۴	۰/۱۲۸	۱/۲۰	۱۷۶	۰/۷۱۱	۱۳/۱۷	-۲/۲۵	۲/۷۷	۰/۴۷۲	۵۷/۹۳
۱۲۹۷	۱۰۰	۰/۸۳۳	۰/۳۳۳	۲/۳۱	۰/۱۸۵	۱/۲۹	۹۵/۷۳	۰/۳۹۱	۴۲/۹۹	-۲/۳۷	۴/۳۸	۰/۵۱۲	۶۹/۵۰
۱۲۹۶	۱۰۰	۱/۱۲	۰/۴۴۱	۲/۵۵	۰/۲۴۰	۱/۸	۲۲۴	۰/۸۴۲	۹/۳۰	-۲/۱۵	۵/۵۳	۱/۰۰	۷۱/۶۷
۱۲۹۱	۱۰۰	۰/۸۴۶	۰/۳۴۰	۲/۴۹	۰/۱۹۶	۱/۳۸	۲۷۹	۰/۴۱۰	۷/۷۳	-۲/۸۱	۳/۴۸	۱/۵۵	۶۲/۰۰
۱۲۸۰	۱۰۰	۰/۶۸۵	۰/۳۱۷	۲/۱۹	۰/۱۴۳	۱/۱۴	۸۷/۵۱	۰/۴۹۲	۳۳/۰۰	-۲/۳۹	۲/۶۰	۱/۳۴	۵۵/۰۷
۱۲۵۴	۱۰۰	۰/۵۷۹	۰/۴۱۲	۱/۵۲	۰/۰۹۲	۱/۸۴	۶۲/۷۷	۰/۵۹۲	۲۰/۴۳	-۲/۸۵	۷/۵۹	۱/۷۵	۶۱/۴۷
۱۳۰۰	۱۰۰	۰/۴۳۹	۰/۱۷۵	۵/۴۳	۰/۱۲۱	۰/۷۳۲	۱۸۷	۰/۵۰۱	۱۲/۴۳	-۲/۳۵	۴/۵۳	۰/۳۶۵	۶۶/۹۷
۱۲۱۴	۱۰۰	۰/۴۹۰	۰/۳۹۲	۱/۳۸	۰/۱۰۰	۰/۹۸۱	۲۰۶	۰/۳۹۲	۱۴/۳۷	-۲/۵۵	۳/۳۱	۰/۴۸۱	۷۱/۸۷
۱۱۴۸	۱۰۰	۰/۹۴۶	۰/۳۸۱	۲/۴۸	۰/۲۲۴	۱/۵۵	۱۳۳	۰/۶۷۲	۱۰/۴۷	-۲/۳۷	۸/۵۸	۰/۴۰۴	۶۸/۵۰
۱۱۴۱	۱۰۰	۰/۹۲۲	۰/۳۸۲	۲/۴۶	۰/۲۲۶	۱/۵۳	۲۹۹	۰/۴۳۲	۱۵/۲۳	-۲/۷۴	۴/۴۳	۰/۸۳	۶۵/۹۰
۱۱۳۹	۱۰۰	۰/۷۹۹	۰/۳۴۶	۲/۳۱	۰/۱۷۵	۱/۲۹	۴۸/۵۰	۰/۷۷۴	۳۷/۱۰	-۲/۸۳	۲/۷۸	۰/۴۸	۶۶/۴۳
۱۱۳۵	۱۰۰	۰/۶۷۵	۰/۳۶۰	۱/۹۰	۰/۱۵۳	۱/۱۹	۱۶۴	۰/۵۳	۳۶/۹۰	-۲/۷۵	۳/۷۰	۰/۶۱۵	۶۷/۴۷
۱۱۳۴	۱۰۰	۰/۹۱۶	۰/۴۳۱	۲/۱۶	۰/۱۶۲	۱/۵۱	۵۵/۷۸	۰/۳۱۰	۱۸/۸۷	-۲/۵۱	۴/۶۷	۰/۵۸۱	۵۶/۰۰
۱۱۳۱	۱۰۰	۱/۰۴	۰/۳۹۲	۲/۶۸	۰/۲۲۵	۱/۶۶	۱۴۶	۰/۵۳۲	۲۱/۴۰	-۲/۳۰	۵/۹۳	۰/۶۰۲	۷۰/۶۰
۱۱۲۸	۱۰۰	۰/۶۸۸	۰/۳۱۰	۲/۱۹	۰/۱۳۸	۱/۱۳	۶۴/۶۰	۰/۸۷۵	۳۹/۹۷	-۲/۳۸	۴/۶۲	۰/۵۷۱	۶۱/۰۳
۱۱۲۷	۱۰۰	۰/۶۲۴	۰/۳۲۵	۱/۹۷	۰/۱۵۱	۱/۱۰	۱۴۱	۰/۱۰۰	۵۴/۸۷	-۴/۱۷	۴/۹۱	۰/۱۲۲	۶۶/۹۷
۱۱۲۲	۱۰۰	۰/۵۱۲	۰/۳۰۰	۱/۷۴	۰/۰۹۳	۰/۹۰	۱۰۰	۰/۳۲۱	۱۹/۱۷	-۳/۰۹	۵/۴۱	۰/۵۰۲	۸۲/۰۰
۱۱۰۰	۱۰۰	۰/۹۱۹	۰/۳۵۱	۲/۶۱	۰/۲۱۰	۱/۴۸	۱۴۹	۰/۴۰۲	۱۴/۵۳	-۲/۰۹	۶/۴۰	۰/۵۱۴	۵۳/۹۷
۱۰۳۷	۱۰۰	۰/۷۱۲	۰/۳۲۴	۲/۲۳	۰/۱۴۳	۱/۱۷	۱۳۳	۰/۶۰۳	۹/۰۰	-۲/۲۶	۲/۶۹	۰/۵۵۶	۷۳/۴۷
۱۰۶۱	۱۰۰	۰/۸۳۱	۰/۲۷۵	۴/۴۵	۰/۲۰۰	۱/۳۱	۱۱۷	۰/۴۰۲	۴۲/۴۳	-۲/۰۷	۳/۰۲	۰/۶۱۲	۶۵/۵۷
۱۰۵۹	۱۰۰	۰/۹۷۰	۰/۳۷۴	۲/۶۲	۰/۲۱۰	۱/۵۵	۳۴/۴۷	۰/۸۳۲	۱۲/۱۳	-۲/۵۳	۲/۶۰	۰/۶۳۲	۶۳/۹۰
۱۰۵۸	۱۰۰	۰/۸۵۱	۰/۳۳۳	۲/۵۱	۰/۱۷۴	۱/۳۶	۴۸/۳۸	۰/۶۸	۲۴/۶۰	-۲/۹۲	۳/۳۲	۰/۸۴۲	۶۳/۶۳
۱۰۵۷	۱۰۰	۰/۸۰۷	۰/۳۸۷	۲/۱۰	۰/۱۷۱	۱/۳۵	۹۰/۸۳	۰/۷۰۴	۱۸/۵۳	-۲/۲۳	۶/۳۳	۰/۶۷۴	۶۲/۵۳
۱۰۴۱	۱۰۰	۰/۹۷۱	۰/۴۳۱	۲/۲۶	۰/۲۷۱	۱/۶۷	۱۹۳	۰/۴۰۲	۱۶/۴۳	-۳/۶۷	۴/۲۹	۰/۴۳۲	۶۶/۵۰
۱۰۳۹	۱۰۰	۰/۷۵۱	۰/۳۴۲	۲/۲۳	۰/۱۷۳	۱/۲۶	۱۲۹	۰/۲۵۴	۴۲/۲۷	-۲/۸۳	۵/۳۷	۰/۵۵۱	۶۸/۶۷
۱۰۳۸	۱۰۰	۰/۹۷۴	۰/۴۰۵	۲/۴۴	۰/۲۳۳	۱/۶۱	۲۵۱	۰/۵۹۱	۸/۰۰	-۲/۵۸	۵/۶۱	۰/۴۶۰	۴۱/۵۰
۱۰۳۰	۱۰۰	۱/۰۷	۰/۴۱۲	۲/۶۰	۰/۲۴۱	۱/۷۳	۱۷۰	۰/۷۳۲	۱۳/۵۰	-۲/۵۰	۶/۵۷	۰/۳۲۳	۶۶/۴۳
۱۲۸۴	۹۰	۰/۷۰۲	۰/۳۲۱	۲/۲۰	۰/۱۵۳	۱/۱۷	۱۴۱/	۰/۵۵	۳۰/۹۷	-۲/۶۷	۵/۷۴	۰/۵۸۰	۶۹/۳۳
۱۲۵۰	۹۰	۰/۹۶۶	۰/۳۷۱	۲/۶۲	۰/۲۱۰	۱/۵۵	۴۸/۳۷	۰/۴۱۲	۱۵/۹۷	-۲/۴۲	۴/۲۹	۰/۵۲۱	۷۲/۴۳
۱۲۰۹	۹۰	۰/۸۵۲	۰/۳۶۱	۲/۳۶	۰/۱۹۵	۱/۴۰	۹۹/۴۳	۰/۶۰۲	۱۸/۴۰	-۳/۰۴	۴/۸۷	۰/۴۵۲	۶۹/۴۷
۱۱۴۵	۹۰	۰/۶۸۷	۰/۲۶۴	۲/۵۷	۰/۱۶۱	۱/۱۱	۵۹/۰۸	۰/۳۹۰	۳۲/۹۰	-۳/۱۲	۳/۲۹	۰/۷۷۷	۷۲/۶۷
۱۱۴۴	۹۰	۰/۵۹۴	۰/۲۸۱	۲/۰۵	۰/۱۴۲	۱/۰۲	۵۲/۸۰	۰/۵۸۱	۳۷/۰۳	-۳/۰۹	۷/۱۳	۰/۵۷۳	۶۹/۰۳
۱۱۴۳	۹۰	۰/۵۵۳	۰/۳۲۰	۱/۷۶	۰/۱۱۵	۰/۹۸۲	۷۷/۷۷	۰/۶۳۲	۴۲/۹۰	-۲/۵۷	۶/۶۵	۰/۶۲۰	۶۷/۶۷
۱۱۱۳	۹۰	۰/۵۸۲	۰/۲۷۱	۲/۱۲	۰/۱۶۳	۱/۰۱	۲۲۳	۰/۳۲۱	۳۰/۵۳	-۳/۲۲	۶/۳۱	۰/۳۷۱	۶۵/۹۳
۱۰۷۵	۹۰	۰/۶۷۲	۰/۳۳	۲/۰۷	۰/۱۵۱	۱/۱۵	۱۱۸	۰/۴۰۲	۴۳/۰۷	-۲/۴۲	۷/۹۶	۰/۸۸۲	۶۴/۳۳
۱۰۷۲	۹۰	۰/۷۶۲	۰/۳۰۲	۲/۵۸	۰/۱۷۴	۱/۲۲	۱۵۱	۰/۶۰۱	۳۹/۶۰	-۳/۳۴	۴/۳۹	۰/۴۹۲	۹۵/۱۳

۶۹/۶۳	۰/۷۲۱	۶/۱۲	-۳/۳۰	۱۳/۹۰	۰/۴۱۲	۴۴/۲۹	۱/۳۵	۰/۱۶۲	۲/۴۰	۰/۳۵۲	۰/۸۴۱	۹۰	۱۰۴۳
۶۹/۰۰	۰/۹۹۰	۷/۱۶	-۳/۱۲	۲۶/۸۳	۰/۳۸۱	۱۰۰	۱/۰۲	۰/۱۴۵	۲/۱۴	۰/۲۸۱	۰/۵۹۹	۹۰	۱۰۴۰
۶۰/۱۰	۰/۸۱۲	۲/۸۸	-۲/۲۲	۴۰/۲۰	۰/۴۸۱	۱۲۲	۱/۰۳	۰/۱۴۲	۲/۱۶	۰/۲۸۴	۰/۶۰۹	۸۳	۱۰۷۷
۳۷/۵۰	۰/۳۷۱	۷/۵۳	-۲/۹۳	۱۹/۳۰	۰/۲۹۴	۲۳۲	۰/۹۰۱	۰/۱۰۲	۱/۶۹	۰/۲۹۱	۰/۵۱۰	۸۰	۱۲۹۴
۶۳/۳	۰/۰۷۱	۷/۳۲	-۲/۹۹	۴۹/۸۷	۱/۲۸	۲۹۶	۱/۴۷	۰/۱۵۲	۱/۷۰	۰/۴۹۳	۰/۸۳۶	۸۰	۱۲۸۶
۶۵/۹۷	۰/۵۳۲	۶/۴۲	-۳/۷۴	۱۳/۷۰	۰/۲۷۰	۲۹۶	۱/۴۹	۰/۱۹۳	۲/۰۹	۰/۴۲۶	۰/۸۷۴	۸۰	۱۲۷۸
۶۱/۹۳	۰/۳۱۷	۵/۰۳	-۳/۲۱	۱۹/۴۰	۰/۵۱۲	۱۷۹	۰/۹۹۲	۰/۱۵۴	۲/۵۵	۰/۲۵۰	۰/۵۰	۸۰	۱۲۴۹
۶۵/۰۰	۰/۶۵۱	۴/۷۳	-۲/۷۲	۲۳/۰۰	۰/۲۶۱	۱۴۷	۱/۰۵	۰/۱۳۲	۲/۰۸	۰/۲۹۴	۰/۶۱۶	۸۰	۱۲۴۶
۶۹/۰۰	۰/۴۴۲	۷/۰۳	-۲/۲۴	۲۱/۴۰	۰/۱۸۲	۲۵۲	۱/۸۳	۰/۲۶۳	۲/۵۵	۰/۴۴۲	۰/۱۳۱	۸۰	۱۲۱۱
۵۸/۹۳	۰/۹۶۲	۳/۷۲	-۳/۴۵	۲۴/۹۳	۰/۶۰۳	۹۵/۸۹	۱/۳۲	۰/۱۹۲	۲/۳۲	۰/۳۴۲	۰/۷۹۲	۸۰	۱۱۴۷
۶۴/۵۷	۰/۷۴۱	۳/۸۲	-۲/۲۳	۱۳/۱۳	۰/۴۲۱	۱۲۸/۲۹	۱/۸۷	۰/۲۵۴	۲/۶۶	۰/۴۴۴	۱/۱۷	۸۰	۱۱۳۶
۶۹/۴۳	۰/۷۰۰	۲/۹۸	-۲/۷۴	۴۱/۳۰	۰/۳۱۰	۱۴۶	۰/۷۰۵	۰/۰۵۴	۱/۲	۰/۲۸۱	۰/۳۷۱	۸۰	۱۱۳۰
۶۴/۵۷	۰/۵۱۰	۴/۵۹	-۲/۳۲	۱۶/۶۰	۰/۳۰۵	۲۱۳	۱/۴۲	۰/۱۹۴	۲/۱۶	۰/۳۹۰	۰/۸۴۵	۸۰	۱۰۳۶
۶۷/۴۷	۰/۳۱۲	۲/۸۷	-۳/۴۸	۱۷/۴۰	۰/۵۸۷	۲۴۰	۱/۲۹	۰/۱۶۱	۲/۱۶	۰/۳۵۰	۰/۷۸۰	۷۸	۱۲۷۷
۵۲/۸۷	۰/۵۷۵	۵/۲۳	-۳/۰۱	۹/۷۰	۰/۵۰	۲۱۷	۱/۷۶	۰/۲۴	۲/۶۴	۰/۴۱۵	۱/۱۰	۷۸	۱۲۷۶
۱۰/۱۹	۰/۲۰۵	۶/۱۴	-۱/۲	۱۶/۷۳	۰/۱۲۲	۶۰/۴۰	۰/۵۰۸	۶/۸۱	۲۰/۸۲	۰/۶۴۴	۰/۳۴۵	۱۶	LSD <sub>0.05</sub>

میانگین مربعات

۳/۴۷**	۹/۵۵**	۷/۷۵**	۰/۸۳۷**	۶/۰۳**	۵/۶۳**	۱۰/۳۴**	۲/۳۵**	۲/۵۴**	۱/۱۶ <sup>ns</sup>	۱/۹۱**	۲/۳۸**	۲۱۶**	ژنوتیپ
۳۹/۵۸	۰/۰۱۳	۱/۴۰	۰/۳۸۹	۹۰/۰۲	۰/۰۲۵	۱۲۲۳	۰/۰۹۷	۰/۰۰۳	۰/۸۵۵	۰/۰۰۵	۰/۰۴۴	۴۶/۸	خطا
۹/۶۳	۱۸/۲۸	۲۲/۶۳	۳۵/۹۸	۳۹/۳۲	۲۹/۴۰	۲۲/۹۴	۲۴/۰۰	۳۲/۶۷	۴۱/۸۶	۲۰/۱۰	۲۶/۹۷	۳/۱۶	CV

MCC: کلکسیون نخود مشهد، ۱: بقا (%). ۲: کلروفیل a (میلی گرم بر گرم وزن تر)، ۳: کلروفیل b (میلی گرم بر گرم وزن تر)، ۴: نسبت کلروفیل a/b، ۵: کاروتنوئیدها (میلی گرم بر گرم وزن تر)، ۶: رنگ‌دانه کل (میلی گرم بر گرم وزن تر)، ۷: فنل کل (میلی گرم بر گرم وزن تر)، ۸: کربوهیدرات‌های محلول (میلی گرم بر گرم وزن تر)، ۹: مالون دی‌آلدئید (نانومول بر گرم وزن تر)، ۱۰: پتانسیل اسمزی (مگاپاسکال)، ۱۱: پرولین (میلی گرم بر گرم وزن تر)، ۱۲: مهار فعالیت رادیکال آزاد DPPH (میلی گرم بر گرم وزن تر)، ۱۳: محتوای نسبی آب برگ،  $LSD_{0.05}$ : حداقل اختلاف معنی‌دار در سطح احتمال پنج درصد، \*\*: معنی‌دار در سطح احتمال یک درصد، <sup>ns</sup>: عدم معنی‌دار، CV: ضریب تغییرات (%).



شکل ۱- تعداد (a) و درصد فراوانی نسبی (b) ژنوتیپ‌های نخود در دامنه‌های مختلف بقاء، چهار هفته پس از اعمال تنش شوری  $۱۲dSm^{-1}$  کلرید سدیم.

جدول ۲- اثر تنش شوری  $12dSm^{-1}$  کلرید سدیم بر صفات مورد بررسی در ژنوتیپ‌های نخود کابلی در دامنه بقای ۵۱ تا ۷۵ درصد

MCC	۱	۲	۳	۴	۵	۶	۷	۸	۹	۱۰	۱۱	۱۲	۱۳
۱۲۹۵	۷۰	۰/۹۴۱	۰/۳۵۱	۲/۶۷	۰/۲۲۲	۱/۵۱	۱۹۱	۰/۲۸۲	۲۳/۶۰	-۱/۹۳	۳/۶۹	۰/۶۰۵	۶۶/۰۳
۱۲۸۹	۷۰	۰/۹۲۳	۰/۳۶۰	۲/۵۶	۰/۲۰۲	۱/۴۸	۱۷۸	۰/۴۹۰	۶/۲۷	-۲/۴۴	۷/۲۹	۱/۱۳	۷۲/۹۳
۱۲۳۶	۷۰	۰/۹۵۰	۰/۳۷۵	۲/۴۹	۰/۲۱۰	۱/۵۳	۱۹۰	۰/۶۸۳	۴۰/۷۰	-۲/۲۶	۲/۴۸	۰/۹۴۲	۷۱/۴۳
۱۱۳۸	۷۰	۰/۹۴۱	۰/۳۶۱	۲/۸۳	۰/۲۳۳	۱/۵۳	۱۷۶	۰/۷۱۴	۳۳/۸۳	-۳/۹۵	۸/۸	۰/۶۳۵	۶۴/۶۳
۱۰۸۷	۷۰	۰/۴۷۲	۰/۳۰۰	۱/۵۸	۰/۰۸۲	۰/۸۴	۱۳۲	۰/۶۰۵	۱۰/۹۰	-۳/۵۴	۳/۱۷	۰/۴۸۱	۶۲/۴۷
۱۰۴۲	۷۰	۰/۴۵۷	۰/۲۹۲	۱/۵۸	۰/۰۷۴	۰/۸۱	۱۴۸	۰/۳۹۱	۲۳/۱۰	-۳/۴۴	۳/۵۱	۰/۷۸۵	۶۵/۰۷
۱۰۳۷	۷۰	۰/۹۴۱	۰/۴۸۱	۱/۹۱	۰/۱۸۱	۱/۶۰	۱۵۴	۰/۵۳۲	۱۸/۸۰	-۳/۷۴	۹/۴۹	۰/۵۸۲	۷۲/۴۰
۱۰۳۵	۷۰	۰/۷۶۵	۰/۳۵۲	۲/۱۵	۰/۱۶۲	۱/۲۷	۱۷۷	۰/۷۳۱	۸/۰۷	-۳/۲۹	۱۱/۸۲	۰/۴۴۴	۶۴/۰۰
۱۰۹۰	۶۷	۰/۵۱۶	۰/۲۹۸	۱/۷۲	۰/۱۰۰	۰/۹۰۵	۱۹۰	۰/۷۸۴	۱۲/۶۳	-۳/۱۰	۵/۹۱	۰/۵۴۰	۶۷/۵۷
۱۳۰۲	۶۰	۰/۷۵۲	۰/۳۶۰	۲/۰۵	۰/۱۵۲	۱/۲۶	۲۵۷	۰/۷۳۲	۲۳/۲۷	-۱/۶۹	۵/۴۲	۰/۳۲۱	۶۲/۴۰
۱۲۱۳	۶۰	۰/۶۲۱	۰/۳۷۹	۱/۶۴	۰/۱۲۴	۱/۱۱	۷۱/۴۰	۰/۶۰۰	۴۸/۷۳	-۳/۱۱	۳/۸۲	۰/۷۶۵	۶۴/۴۰
۱۱۴۰	۶۰	۰/۸۸۷	۰/۳۶۳	۲/۴۱	۰/۱۸۲	۱/۴۲	۱۶۲	۰/۹۸۳	۹/۸۷	-۳/۳۶	۶/۳۳	۰/۵۹۱	۶۸/۴۳
۱۱۳۲	۶۰	۰/۹۶۰	۰/۳۶۱	۲/۶۰	۰/۲۱۳	۱/۵۳	۲۱۲	۱/۱۲	۳۷/۰۰	-۲/۵۵	۶/۳۳	۰/۷۹۲	۶۱/۸۷
LSD <sub>0.05</sub>	۱۶	۰/۳۴۵	۰/۶۴۴	۲۰/۸۲	۶/۸۱	۰/۵۰۸	۶۰/۴۰	۰/۱۲۲	۱۶/۷۳	-۱/۲	۶/۱۴	۰/۲۰۵	۱۰/۱۹
میانگین مربعات													
ژنوتیپ	۲۱۶**	۲/۳۸**	۱/۹۱**	۱/۱۶ <sup>ns</sup>	۲/۵۴**	۲/۳۵**	۱۰/۳۴**	۵/۶۳**	۶/۰۳**	۰/۸۳۷**	۷/۷۵**	۹/۵۵**	۳/۴۷**
خطا	۴۶/۸	۰/۰۴۴	۰/۰۰۵	۰/۸۵۵	۰/۰۰۳	۰/۰۹۷	۱۲۲۳	۰/۰۲۵	۹۰/۰۲	۰/۳۸۹	۱/۴۰	۰/۰۱۳	۳۹/۵۸
CV	۳/۱۶	۲۶/۹۷	۲۰/۱۰	۴۱/۸۶	۳۲/۶۷	۲۴/۰۰	۲۲/۹۴	۲۹/۴۰	۳۹/۳۲	۳۵/۹۸	۲۲/۶۳	۱۸/۲۸	۹/۶۳

MCC: کلکسیون نخود مشهد، ۱: بقا (%). ۲: کلروفیل a (میلی گرم بر گرم وزن تر)، ۳: کلروفیل b (میلی گرم بر گرم وزن تر)، ۴: نسبت کلروفیل a/b، ۵: کاروتنوئیدها (میلی گرم بر گرم وزن تر)، ۶: رنگ‌دانه کل (میلی گرم بر گرم وزن تر)، ۷: فنل کل (میلی گرم بر گرم وزن تر)، ۸: کربوهیدرات‌های محلول (میلی گرم بر گرم وزن تر)، ۹: مالون دی‌آلدئید (نانومول بر گرم وزن تر)، ۱۰: پتانسیل اسمزی (مگاپاسکال)، ۱۱: پرولین (میلی گرم بر گرم وزن تر)، ۱۲: مهار فعالیت رادیکال آزاد DPPH (میلی گرم بر گرم وزن تر)، ۱۳: محتوای نسبی آب برگ،  $LDS_{0.05}$ : حداقل اختلاف معنی‌دار در سطح احتمال پنج درصد، \*\*: معنی‌دار در سطح احتمال یک درصد، <sup>ns</sup>: عدم معنی‌دار، CV: ضریب تغییرات (%).

معرض تنش شوری  $12dSm^{-1}$  در دامنه‌های بقا ۲۶-۵۰، ۵۱-۷۵ و ۷۶-۱۰۰ درصد، تفاوت چشمگیری از نظر محتوای کلروفیل a با یکدیگر نداشتند. اما، یک افزایش بسیار جزئی در میزان این شاخص همراه با افزایش درصد بقا مشاهده شد. بیشترین میزان کلروفیل a ( $1/17$  میلی‌گرم بر گرم وزن تر) مربوط به ژنوتیپ MCC1136 در دامنه بقا ۸۰ درصد بود. مانند کلروفیل a، در مورد محتوای کلروفیل b نیز تفاوت محسوسی بین سه دامنه بقا مورد بررسی مشاهده نشد. اما، همین تفاوت اندک به‌صورت کاهش میزان این رنگ‌دانه با افزایش درصد بقا بود. بیشترین میزان این رنگ‌دانه ( $0/493$

خود نشان می‌دهند، لزوماً مشابه با آن چیزی نیست که در شرایط مزرعه رخ می‌دهد. چرا که در شرایط هیدروپونیک، امکان دسترسی به عناصر غذایی بیشتر است، و این می‌تواند توان تحمل گیاه نسبت به این سطح از تنش شوری را افزایش دهد (Nasiri et al., 2021). اگر چه، گیاه نخود حساس به تنش شوری است، اما، می‌توان امید داشت که تنوع ژنوتیپی بالای آن از نظر میزان تحمل تنش، بتواند در به‌گزینی ژنوتیپ‌های مقاوم‌تر مفید باشد.

اثر ژنوتیپ بر محتوای کلروفیل a، b، کاروتنوئیدها و رنگ‌دانه کل معنی‌دار بود (جدول ۱، ۲ و ۳). ژنوتیپ‌های در

جدول ۳- اثر تنش شوری  $12dSm^{-1}$  کلرید سدیم بر صفات مورد بررسی در ژنوتیپ‌های نخود کابلی در دامنه بقای ۵۰ تا ۲۶ درصد

MCC	۱	۲	۳	۴	۵	۶	۷	۸	۹	۱۰	۱۱	۱۲	۱۳
۱۱۱۵	۵۰	۰/۷۲۷	۰/۳۴۱	۲/۰۷	۰/۱۵۲	۱/۲۱	۱۳۲	۰/۵۹۱	۱۱/۱۳	-۲/۸۶	۳/۱۸	۰/۵۸۴	۷۴/۴۷
۱۲۳۵	۵۰	۰/۶۶۶	۰/۳۵۰	۱/۸۹	۰/۱۳۰	۱/۱۵	۳۹/۰۸	۰/۵۳۲	۲۸/۵۰	-۳/۸۵	۷/۷۶	۰/۵۸۱	۷۴/۳۳
۱۲۳۴	۵۰	۰/۹۰۳	۰/۴۲۲	۲/۱۷	۰/۱۹۲	۱/۵۱	۱۹۵	۰/۸۲۱	۱۶/۱۳	-۲/۶۰	۵/۷۳	۰/۰/۸۱	۶۷/۵۳
۱۰۳۶	۴۴	۰/۴۵۷	۰/۲۸۰	۱/۶۱	۰/۰۸۰	۰/۸۱	۱۶۱	۰/۹۳۲	۱۵/۸۳	-۳/۲۶	۴/۹۳	۰/۵۰۱	۶۲/۹۳
۱۲۱۲	۴۰	۰/۹۶۰	۰/۴۷۰	۲/۰۵	۰/۱۷۰	۱/۶۰	۱۸۹	۰/۲۸۰	۶۱/۸۳	-۳/۴۱	۶/۲۰	۱/۰۴	۷۰/۰۳
۱۱۲۹	۳۸	۰/۸۴۳	۰/۴۰۸	۲/۱۱	۰/۱۹۱	۱/۴۳	۲۱۲	۰/۴۸۱	۲۲/۷۰	-۲/۴۸	۵/۶۸	۰/۸/۹۰	۵۸/۱۳
LSD <sub>0.05</sub>	۱۶	۰/۳۴۵	۰/۶۴۴	۲۰/۸۲	۶/۸۱	۰/۵۰۸	۶۰/۴۰	۰/۱۲۲	۱۶/۷۳	-۱/۲	۶/۱۴	۰/۲۰۵	۱۰/۱۹
میانگین مربعات													
ژنوتیپ	۲۱۶**	۲/۳۸**	۱/۹۱**	۱/۱۶ <sup>ns</sup>	۲/۵۴**	۲/۳۵**	۱۰/۳۴**	۵/۶۳**	۶/۰۳**	۰/۸۳۷**	۷/۷۵**	۹/۵۵**	۳/۴۷**
خطا	۴۶/۸	۰/۰۴۴	۰/۰۰۵	۰/۸۵۵	۰/۰۰۳	۰/۰۹۷	۱۲۲۳	۰/۰۲۵	۹۰/۰۲	۰/۳۸۹	۱/۴۰	۰/۰۱۳	۳۹/۵۸
CV	۳/۱۶	۲۶/۹۷	۲۰/۱۰	۴۱/۸۶	۳۲/۶۷	۲۴/۰۰	۲۲/۹۴	۲۹/۴۰	۳۹/۳۲	۳۵/۹۸	۲۲/۶۳	۱۸/۲۸	۹/۶۳

MCC: کلکسیون نخود مشهد، ۱: بقا (%). ۲: کلروفیل a (میلی گرم بر گرم وزن تر)، ۳: کلروفیل b (میلی گرم بر گرم وزن تر)، ۴: نسبت کلروفیل a/b، ۵: کاروتنوئیدها (میلی گرم بر گرم وزن تر)، ۶: رنگ‌دانه کل (میلی گرم بر گرم وزن تر)، ۷: فنل کل (میلی گرم بر گرم وزن تر)، ۸: کربوهیدرات‌های محلول (میلی گرم بر گرم وزن تر)، ۹: مالون دی‌آلدئید (نانومول بر گرم وزن تر)، ۱۰: پتانسیل اسمزی (مگاپاسکال)، ۱۱: پرولین (میلی گرم بر گرم وزن تر)، ۱۲: مهار فعالیت رادیکال آزاد DPPH (میلی گرم بر گرم وزن تر)، ۱۳: محتوای نسبی آب برگ، LDS<sub>0.05</sub>: حداقل اختلاف معنی‌دار در سطح احتمال پنج درصد، \*\*: معنی‌دار در سطح احتمال یک درصد، ns: عدم معنی‌دار، CV: ضریب تغییرات (%).

زننده به دستگاه فتوستتزی و به دنبال آن حذف رادیکال‌های آزاد اکسیژن فعال می‌شود (Kovac et al., 2020). افزایش در میزان کاروتنوئیدها در شرایط تنش شوری در گیاه نخود متحمل نسبت به حساس گزارش شده است (Kafi et al., 2011). مطالعات مختلف نشان داده است که تنش شوری سبب کاهش فتوستتزی می‌شود. این کاهش می‌تواند به دلایل مختلف مانند کاهش نفوذپذیری سلول به دی‌اکسید کربن ناشی از پلاسمولیز و بسته شدن روزنه‌ها، سمیت ناشی از یون‌های سدیم و کلر، ریزش برگ به دلیل تسریع فرآیند پیری به واسطه تجمع نمک، تغییرات ساختاری در آنزیم‌ها و به دنبال آن تغییر در فعالیت آن‌ها، کاهش مصرف اسیمیلات‌ها به دلیل کاهش رشد رخ دهد (Jaleel et al., 2007). کاهش در فتوستتزی می‌تواند سبب کاهش تجمع رنگ‌دانه‌های فتوستتزی شود. اگر چه، در ارتباط با اثر تنش شوری بر میزان رنگ‌دانه‌های فتوستتزی، نتایج مطالعات مختلف با یکدیگر همسو نیست.

میلی گرم بر گرم وزن تر) در ژنوتیپ MCC1286 با ۸۰ درصد بقا مشاهده شد (جدول ۱). نتایج نشان داد که با افزایش درصد بقا ژنوتیپ‌ها، نسبت کلروفیل a/b افزایش یافت. به طوری که، بیشترین نسبت در دامنه بقا بیش از ۷۵ درصد و کمترین میزان آن در دامنه بقا ۲۶-۵۰ درصد مشاهده شد. مشابه با کلروفیل a و b، محتوای کاروتنوئیدها نیز در بین درصدهای بقا مختلف، تفاوت چندانی نشان نداد. اما، در کل یک افزایش جزئی همراه با افزایش درصد بقا مشاهده شد. تفاوت محسوسی از نظر محتوای رنگ‌دانه کل نیز بین سه دامنه بقا مشاهده نشد. به طور کلی، میزان کلروفیل a و b، نسبت کلروفیل a/b، محتوای کاروتنوئیدها و رنگ‌دانه کل همبستگی معنی‌داری با درصد بقا نشان ندادند (جدول ۴).

به طور کلی، افزایش محتوای کاروتنوئیدها در شرایط تنش شوری به گیاه توان مقابله با آسیب‌های ناشی از تنش را می‌دهد. به این دلیل که سبب اتلاف انرژی نوری مازاد و آسیب

جدول ۴- ضرایب همبستگی بین صفات در ژنوتیپ‌های نخود کابلی تحت تأثیر تنش شوری  $^{125}\text{dSm}^{-1}$  کلرید سدیم

	۱۳	۱۲	۱۱	۱۰	۹	۸	۷	۶	۵	۴	۳	۲	۱
۱													۱/۰۰
۲												۱/۰۰	۰/۰۳۸ <sup>ns</sup>
۳											۱/۰۰	۰/۷۲۲ <sup>**</sup>	۰/۱۱۰ <sup>ns</sup>
۴										۱/۰۰	۰/۰۴۰ <sup>ns</sup>	۰/۷۰۹ <sup>**</sup>	۰/۱۹۰ <sup>ns</sup>
۵									۱/۰۰	۰/۷۸۹ <sup>**</sup>	۰/۵۴۷ <sup>**</sup>	۰/۹۲۹ <sup>**</sup>	۰/۱۳۳ <sup>ns</sup>
۶								۱/۰۰	۰/۹۱۹ <sup>**</sup>	۰/۶۲۸ <sup>**</sup>	۰/۷۹۴ <sup>**</sup>	۰/۹۹۲ <sup>**</sup>	۰/۰۳۱ <sup>ns</sup>
۷							۱/۰۰	۰/۲۴۶ <sup>**</sup>	۰/۲۶۱ <sup>*</sup>	۰/۰۱۰ <sup>ns</sup>	۰/۲۸۸ <sup>*</sup>	۰/۲۰۹ <sup>ns</sup>	-۰/۲۰۸ <sup>ns</sup>
۸						۱/۰۰	-۰/۰۲۲ <sup>ns</sup>	۰/۰۹۷ <sup>ns</sup>	-۰/۰۰۱ <sup>ns</sup>	۰/۰۳۶ <sup>ns</sup>	۰/۱۳۵ <sup>ns</sup>	-۰/۱۰۷ <sup>ns</sup>	-۰/۲۰۷ <sup>ns</sup>
۹				۱/۰۰	-۰/۰۶۵ <sup>ns</sup>	-۰/۲۲۱ <sup>ns</sup>	-۰/۲۱۳ <sup>ns</sup>	-۰/۲۱۱ <sup>ns</sup>	-۰/۱۵۶ <sup>ns</sup>	-۰/۱۲۶ <sup>ns</sup>	-۰/۲۲۳ <sup>ns</sup>	-۰/۰۶۶ <sup>ns</sup>	-۰/۲۵۲ <sup>*</sup>
۱۰			۱/۰۰	۰/۱۱۹ <sup>ns</sup>	-۰/۰۶۵ <sup>ns</sup>	-۰/۰۴۵ <sup>ns</sup>	-۰/۲۰۱ <sup>ns</sup>	-۰/۲۰۰ <sup>ns</sup>	-۰/۳۰۵ <sup>**</sup>	-۰/۰۳۶ <sup>ns</sup>	-۰/۲۳۳ <sup>*</sup>	-۰/۲۳۳ <sup>*</sup>	-۰/۱۸۲ <sup>ns</sup>
۱۱			۱/۰۰	۰/۲۵۷ <sup>*</sup>	-۰/۰۶۸ <sup>ns</sup>	۰/۱۰۵ <sup>ns</sup>	۰/۱۴۱ <sup>ns</sup>	۰/۱۶۹ <sup>ns</sup>	۰/۱۲۲ <sup>ns</sup>	-۰/۰۵۶ <sup>ns</sup>	۰/۲۶۱ <sup>*</sup>	۰/۱۳۸ <sup>ns</sup>	-۰/۱۸۲ <sup>ns</sup>
۱۲		۱/۰۰	۰/۰۳۶ <sup>ns</sup>	۰/۰۹۹ <sup>ns</sup>	۰/۳۵۵ <sup>**</sup>	۰/۰۵۳ <sup>ns</sup>	-۰/۰۶۸ <sup>ns</sup>	۰/۱۴۸ <sup>*</sup>	۰/۰۵۶ <sup>ns</sup>	-۰/۰۲۸ <sup>ns</sup>	۰/۲۳۲ <sup>ns</sup>	۰/۱۳۲ <sup>ns</sup>	-۰/۲۱۴ <sup>ns</sup>
۱۳	۱/۰۰	۰/۱۶۰ <sup>ns</sup>	-۰/۰۴۳ <sup>ns</sup>	۰/۰۹۹ <sup>ns</sup>	-۰/۰۹۲ <sup>ns</sup>	-۰/۰۳۷ <sup>ns</sup>	-۰/۲۲۱ <sup>ns</sup>	-۰/۰۲۸ <sup>ns</sup>	-۰/۰۳۸ <sup>ns</sup>	-۰/۰۱۹ <sup>ns</sup>	-۰/۰۰۸ <sup>ns</sup>	-۰/۰۲۷ <sup>ns</sup>	-۰/۰۶۱ <sup>ns</sup>

۱: بقا، ۲: کلروفیل a، ۳: کلروفیل b، ۴: نسبت کلروفیل a/b، ۵: کاروتنوئیدها، ۶: رنگ‌دانه کل، ۷: فنل کل، ۸: کربوهیدرات‌های محلول، ۹: مالون دی‌آلدئید، ۱۰: پتانسیل اسمزی، ۱۱: پرولین، ۱۲: مهار فعالیت رادیکال آزاد DPPH، ۱۳: محتوای نسبی آب برگ، \*\*: معنی‌دار در سطح احتمال یک درصد، \*: معنی‌دار در سطح احتمال پنج درصد، ns: عدم معنی‌دار.

ترکیب‌های ثانوی از جمله فنل‌ها است. فنل‌ها گروه وسیعی از ترکیب‌های را شامل می‌شوند و شامل فعالیت‌های آنتی‌اکسیدانی قوی در مقابل رادیکال‌های آزاد هستند (Moayedinezhad et al., 2020). در مطالعه حاضر، محتوای فنل یا افزایش تحمل گیاه به تنش افزایش یافت که می‌تواند نشان‌دهنده این باشد که در این ژنوتیپ‌ها مسیرهای بیوسنتزی و فعال‌سازی آنزیم‌های مؤثر در تولید ترکیب‌های فنلی تقویت شده است.

در مطالعه حاضر، بین ژنوتیپ‌های نخود کابلی در سطح تنش شوری  $^{125}\text{dSm}^{-1}$  از نظر محتوای کربوهیدرات‌های محلول تفاوت معنی‌داری مشاهده شد (جدول ۱، ۲ و ۳). روند تغییرات محتوای کربوهیدرات‌های محلول، به نحوی بود که با افزایش دامنه بقاء از ۲۶-۵۱ درصد به ۵۱-۷۵ درصد، محتوای کربوهیدرات‌های محلول افزایش یافت. اما، در ژنوتیپ‌های دارای دامنه بقاء بیش از ۷۵ درصد این شاخص کاهش یافت و به کمترین مقدار خود رسید. بیشترین محتوای کربوهیدرات‌های محلول (۱/۲۸ میلی‌گرم بر گرم وزن تر) در ژنوتیپ MCC1286 با دامنه بقاء ۸۰ درصد مشاهده شد

برخی از مطالعات بیان کرده‌اند که سطوح متوسط شوری سبب کاهش میزان رنگ‌دانه‌های فتوسنتزی می‌شود و ممکن است علت آن تخریب کلروفیل a توسط یون سدیم باشد (Pandey et al., 1999). اما در مقابل، برخی دیگر از مطالعات نشان دادند که با افزایش تنش شوری، میزان کلروفیل افزایش می‌یابد (Asch et al., 2000).

نتایج نشان داد که چهار هفته بعد از اعمال تنش شوری  $^{125}\text{dSm}^{-1}$ ، از نظر میزان فنل کل بین ژنوتیپ‌های نخود کابلی تفاوت معنی‌داری وجود دارد (جدول ۱، ۲ و ۳). با افزایش درصد بقاء از ۲۶-۵۰ به ۵۱-۷۵ میانگین محتوای فنل کل ژنوتیپ‌های نخود افزایش یافت. اما، با افزایش درصد بقاء به بیش از ۷۵ درصد، میزان این شاخص کاهش یافت. بیشترین محتوای فنل کل (۲۹۹ میلی‌گرم بر گرم وزن تر) در ژنوتیپ MCC1141 با ۱۰۰ درصد بقاء مشاهده شد (جدول ۲). میزان فنل کل با میزان کلروفیل b، کاروتنوئید و رنگدانه کل همبستگی معنی‌داری داشت (جدول ۴).

در شرایط تنش شوری، مکانیسم‌های دفاعی مختلفی در گیاه فعال می‌شود که یکی از سیستم‌های غیرآنزیمی آن تولید



محصول تجزیه آن است. هر چه، میزان حساسیت گیاه به تنش شوری بیشتر باشد، میزان تجزیه لیپید و تولید MDA بیشتر است (Kaur et al., 2014)؛ بنابراین، کاهش میانگین میزان تولید MDA در درصدهای بالاتر بقاء منطقی و قابل انتظار است.

براساس نتایج مطالعه حاضر، چهار هفته بعد از اعمال تنش شوری  $12dSm^{-1}$ ، از نظر میزان پتانسیل اسمزی بین ژنوتیپ‌های نخود کابلی تفاوت معنی‌داری وجود دارد (جدول ۱، ۲ و ۳). با افزایش درصد بقاء، میانگین پتانسیل اسمزی در ژنوتیپ‌ها کاهش یافت. کمترین پتانسیل اسمزی ( $4/7$ - مگاپاسکال) در ژنوتیپ MCC1127 با درصد بقاء ۱۰۰ مشاهده شد (جدول ۱). بین پتانسیل اسمزی با درصد بقاء و میزان کلروفیل a یک همبستگی منفی در سطح احتمال یک درصد و بین این شاخص با نسبت کلروفیل a/b همبستگی منفی در سطح احتمال پنج درصد مشاهده شد (جدول ۴).

تعداد اسمزی به معنی نگهداری تورژانس سلولی است که به واسطه افزایش تنظیم‌شده محلول‌های سلولی صورت می‌گیرد. گیاهان متحمل به شوری توانایی بیشتری برای تنظیم فشار اسمزی دارند. زمانی که سطح شوری کم و یا متوسط است، گیاهان قادر هستند که بدون از دست رفتن آب، کاهش پتانسیل اسمزی را تنظیم کنند. اما زمانی که گیاه حساس به تنش است، تجمع بالای نمک در آپوپلاست برگ به واسطه جریان تعرق می‌تواند به پتانسیل اسمزی خسارت بزند. در پژوهش‌های پیشین بین تحمل به شوری و پتانسیل اسمزی رابطه منفی گزارش شد که با نتایج این مطالعه همسو است (Nasiri et al., 2021).

بین ژنوتیپ‌های مختلف مورد بررسی از نظر محتوای پرولین تفاوت معنی‌داری وجود داشت (جدول ۱، ۲ و ۳). نتایج نشان داد که با افزایش درصد بقاء از  $26-50$  به  $51-75$  در میانگین محتوای پرولین افزایش یافت. اما با افزایش دامنه بقاء به بیش از ۷۵ درصد، میانگین محتوای پرولین کاهش یافت و به کمترین مقدار خود رسید. بیشترین محتوای پرولین ( $11/82$  میلی‌گرم بر گرم وزن تر) در ژنوتیپ MCC1035 با

(جدول ۱). بین محتوای کربوهیدرات‌های محلول با درصد بقاء، رنگ‌دانه‌های فتوسنتزی و فنل کل همبستگی معنی‌داری وجود نداشت (جدول ۴).

مطالعات مختلف نشان داده است که تنش شوری، سبب کاهش محتوای کربوهیدرات‌های محلول در بخش هوایی گیاهان زراعی می‌شود (Al Abdallah et al., 2016). یکی از علت‌های این کاهش، افزایش تولید رادیکال‌های آزاد در شرایط تنش شوری، تبدیل کربوهیدرات‌های درشت مولکول به قندهای ساده محلول که می‌تواند پروتئین‌ها را از آسیب ناشی از تنش محافظت کند، است (Bohnert and shen, 1999). از طرفی دیگر، در سلول‌های گیاهی، برای حفظ تورژانس سلول و جلوگیری از پلاسمولیز تحت تنش شوری، مولکول‌های درشت مانند نشاسته به قندهای ساده مانند گلوکز تبدیل می‌شوند. این اتفاق، پتانسیل آب سلولی را منفی‌تر کرده و به حفظ تعادل اسمزی کمک می‌کند (Safikhani et al., 2007)؛ بنابراین، به نظر می‌رسد که کاهش محتوای کربوهیدرات‌های محلول به منظور تبدیل به قندهای ساده محلول یکی از سازوکارهای سازش در برابر تنش باشد. از این رو، کاهش محتوای کربوهیدرات‌های محلول در ژنوتیپ‌های دارای درصدهای بقاء بالاتر در مطالعه حاضر دور از انتظار نیست.

اثر ژنوتیپ‌های نخود بر محتوای مالون دی‌آلدئید در سطح تنش شوری  $12dSm^{-1}$  معنی‌دار بود (جدول ۱، ۲ و ۳). با افزایش درصد بقاء از  $26-50$  به  $51-75$  درصد محتوای مالون دی‌آلدئید کاهش یافت. اما، افزایش درصد بقاء به بالاتر از ۷۵ درصد، میزان این ویژگی افزایش یافت. بیشترین محتوای MDA ( $61/83$  نانومول بر گرم وزن تر) در ژنوتیپ MCC1212 با ۴۰ درصد بقاء مشاهده شد (جدول ۳). بر اساس جدول ۴، همبستگی آماری بین MDA با درصد بقاء، رنگ‌دانه‌های فتوسنتزی، محتوای فنل کل و کربوهیدرات‌های محلول معنی‌دار نشد.

پراکسیداسیون لیپید، یک شاخص آسیب اکسیداتیو به غشاء سلول است. تجزیه لیپید، تولید MDA می‌کند، که فراوان‌ترین

مهار فعالیت رادیکال آزاد DPPH تنوع زیادی وجود داشت. بیشترین میزان این ویژگی (۱/۷۵ میلی‌گرم بر گرم وزن تر) در ژنوتیپ MCC1254 با درصد بقاء ۱۰۰ مشاهده شد (جدول ۱). نتایج جدول ۴ نشان‌دهنده همبستگی مثبت بین مهار فعالیت رادیکال آزاد DPPH با محتوای رنگ‌دانه کل و MDA به ترتیب در سطح آماری پنج و یک درصد است. گزارش‌های مختلف نشان داده است که با افزایش تنش شوری میزان مهار فعالیت رادیکال آزاد DPPH در ژنوتیپ‌های نخود نیز افزایش می‌یابد (Samanthi et al., 2015; Nasiri et al., 2021). چرا که در گیاهان حساس به تنش که مکانیسم‌های دفاعی ضعیف‌تر است، تجمع رادیکال‌های آزاد بیشتر خواهد بود که صدمات بیشتری را به چربی‌ها و پروتئین‌ها وارد می‌کند. در گیاهان متحمل مهار فعالیت رادیکال آزاد DPPH بیشتر شده و آن‌ها ظرفیت بهتری برای دفاع از خود به‌واسطه آن دارند.

محتوای نسبی آب برگ در ژنوتیپ‌های نخود مورد بررسی تفاوت معنی‌داری با یکدیگر داشتند (جدول ۱، ۲ و ۳). با افزایش درصد بقاء میانگین محتوای نسبی آب برگ افزایش یافت. بیشترین محتوای نسبی آب برگ (بیش از ۹۵ درصد) مربوط به ژنوتیپ MCC1072 با درصد بقاء ۹۰ بود (جدول ۳). از طرفی دیگر، همبستگی معنی‌داری بین محتوای نسبی آب برگ با هیچ یک از صفات مورد بررسی مشاهده نشد (جدول ۴).

محتوای نسبی آب برگ یک عامل برای تعیین میزان آب موجود در گیاه است و منعکس‌کننده فعالیت‌های متابولیکی بافت‌ها است. زمانی که محتوای نسبی آب برگ کاهش می‌یابد، به معنی کاهش در فشار تورژانس سلول است که سبب کاهش آب مورد نیاز برای فرایندهای فیزیولوژیکی گیاه می‌شود. در گیاهان حساس به شوری که جذب آب کاهش می‌یابد فشار تورژانس سلول کاهش یافته و فشار اسمزی نیز کاهش می‌یابد (Sarker and Oba, 2020). گزارش‌های مختلف حاکی از این است که در گیاهان حساس به تنش شوری محتوای نسبی آب برگ کمتر از گیاهان متحمل است (Khedr et al., 2022). بین محتوای نسبی آب برگ و کاهش

درصد بقاء ۷۰ مشاهده شد (جدول ۲). همچنین، یک همبستگی مثبت در سطح احتمال پنج درصد بین محتوای پرولین و محتوای کلروفیل b و پتانسیل اسمزی مشاهده شد (جدول ۴).

پرولین یک اسمولیت محافظ تعادل اسمزی بین سیتوپلاسم و واکوئل است (Dashti et al., 2017). در شرایط تنش شوری، به دلیل کاهش سنتز پروتئین، مصرف پرولین کاهش یافته که می‌تواند دلیل تجمع پرولین در این شرایط باشد (Kucuk et al., 2007). زمانی که گیاهان در معرض تنش شوری قرار می‌گیرند، با کاهش آب و یا کاهش پتانسیل اسمزی مواجه می‌شوند. تصور بر این است که افزایش غلظت پرولین در این شرایط، عمومی‌ترین و فراوان‌ترین واکنش گیاه است (Delauney and Verna, 1993). اگر چه، هنوز اهمیت فیزیولوژیکی پرولین در بهبود اثرات زیان‌بار تنش در گیاهان به میزان کافی روشن نشده است (Mansour and Ali, 2017). گفته می‌شود که با وجود چالش‌های مختلفی که ارتباط بین تجمع پرولین و میزان حساسیت و یا تحمل به شوری را در گیاهان بررسی می‌کنند، اما، هنوز مدارک قانع‌کننده‌ای در این زمینه ارائه نشده است. افزایش میزان پرولین در ژنوتیپ‌های متحمل نخود گزارش شده است. به نظر می‌رسد که گیاهان حساس و متحمل به شوری، آستانه‌های متفاوتی برای تجمع پرولین داشته باشند. به این معنی که وقتی غلظت یون سدیم در محیط و گیاه به حد مشخصی برسد، انباشت پرولین صورت می‌گیرد که این حد در گونه‌های حساس و متحمل به شوری متفاوت است (Joseph et al., 2015). اما در مطالعه حاضر، محتوای پرولین در ژنوتیپ‌های حساس به شوری بیشتر بود که می‌تواند به دلیل نیاز کمتر ژنوتیپ‌های متحمل به پرولین باشد. از طرفی امکان دارد سیستم فعال‌سازی پرولین در ژنوتیپ‌های متحمل دیرتر نسبت به ژنوتیپ‌های حساس فعال شود.

مهار فعالیت رادیکال آزاد DPPH در ژنوتیپ‌های نخود چهار هفته بعد از اعمال تنش تفاوت معنی‌داری نشان داد (جدول ۱، ۲ و ۳). با افزایش درصد بقاء، میانگین مهار فعالیت رادیکال آزاد DPPH کاهش یافت. در بین ژنوتیپ‌ها از نظر

جدول ۵- تجزیه به عامل‌ها برای ژنوتیپ‌های نخود تحت تنش شوری

عامل ۱	عامل ۲	عامل ۳	عامل ۴	عامل ۵	
۰/۰۶۳	-۰/۶۸۳	-۰/۱۳۲	۰/۲۵۴	۰/۰۵۷	بقا
۰/۹۸۵	۰/۰۱۹	-۰/۰۱۶	۰/۰۰۸	-۰/۰۲۵	کلروفیل a
۰/۷۱۲	۰/۴۴۳	۰/۰۲۶	۰/۰۳۶	۰/۱۱۷	کلروفیل b
۰/۷۰۴	-۰/۴۱۷	-۰/۲۰۶	-۰/۰۳۵	-۰/۱۵۰	کلروفیل a/کلروفیل b
۰/۹۴۸	-۰/۱۰۵	-۰/۰۸۸	۰/۱۲۳	۰/۰۰۱	کاروتنوئیدها
۰/۹۸۳	۰/۰۸۴	-۰/۰۸۴	۰/۰۳۷	۰/۰۱۰	رنگ‌دانه کل
۰/۳۱۸	۰/۲۳۳	۰/۵۷۶	-۰/۰۱۶	۰/۳۸۷	فنل کل
۰/۱۱۹	۰/۲۶۰	۰/۱۴۱	-۰/۷۴۶	-۰/۴۱۷	کربوهیدرات‌های محلول
-۰/۲۹۲	۰/۲۳۱	-۰/۶۱۲	-۰/۰۸۷	۰/۳۹۵	مالون دی‌آلدئید
-۰/۲۷۸	۰/۵۴۹	۰/۰۱۰	۰/۴۸۶	-۰/۱۷۳	پتانسیل اسمزی
۰/۱۷۸	۰/۵۳۱	۰/۲۷۳	۰/۳۱۸	-۰/۲۳۷	پرولین
۰/۰۹۹	۰/۴۹۷	-۰/۵۹۹	-۰/۱۶۸	۰/۲۹۱	مهار فعالیت رادیکال آزاد
-۰/۰۷۴	۰/۱۳۲	-۰/۵۲۲	۰/۱۶۹	-۰/۵۵۳	محتوای نسبی آب برگ
۴/۱۷	۱/۸۸	۱/۵۲	۱/۰۷	۱/۰۰	مقدار ویژه
۳۲/۰۶	۴۶/۵۱	۵۸/۱۹	۶۶/۴۱	۷۴/۰۸	درصد تجمعی

کربوهیدرات‌های محلول رابطه منفی وجود داشت که با نتایج در مطالعه حاضر همسو بود. چرا که تبدیل کربوهیدرات‌ها به قندهای ساده‌تر در تنظیم اسمزی نقش مهمی دارند و کاهش در میزان قندها می‌تواند سبب کاهش پتانسیل اسمزی و بسته شدن روزنه‌ها شود.

روش تجزیه به عامل‌ها می‌تواند اثر شرایط تنش را بر گروه‌بندی صفات مورد بررسی نشان دهد. در این مطالعه، ضرایب عامل‌ها بر اساس تجزیه به مؤلفه‌های اصلی صورت گرفت (جدول ۵). عامل اول، ۳۲/۰۶ درصد تغییرات را توجیه می‌کند که شامل میزان کلروفیل a و b و نسبت آنها، محتوای کاروتنوئیدها و رنگ‌دانه کل است. عامل دوم، ۱۴/۴۵ درصد از تغییرات را توجیه می‌کند که شامل درصد بقای گیاه با بار منفی و میزان پتانسیل اسمزی و پرولین است. عامل سوم، ۱۱/۶۸ درصد از تغییرات را توجیه می‌کند که شامل میزان مالون دی‌آلدئید و DPPH با بار منفی و میزان فنل کل است. عامل چهارم، ۸/۲۲ درصد از تغییرات را توجیه می‌کند که شامل میزان مالون دی‌آلدئید با بار منفی است و عامل پنجم، ۷/۶۷ درصد از تغییرات را که شامل محتوای نسبی آب برگ با بار

منفی است، توجیه می‌کند.

از آنجایی که عامل اصلی اول و دوم به‌ویژه عامل اول، بیشترین تغییرات واریانس داده‌ها را توجیه کردند، صفات درصد بقا، محتوای کلروفیل a، b و نسبت آنها، محتوای کاروتنوئیدها و رنگ‌دانه کل، میزان پتانسیل اسمزی و نیز محتوای پرولین به منظور تعیین و شناسایی ژنوتیپ‌های برتر استفاده شدند (شکل ۲). با توجه به دستگاه مختصات (شکل ۲)، ژنوتیپ‌های MCC1037، MCC1212، MCC1286، MCC1138، MCC1278، MCC1129، MCC1140، MCC1234، MCC1299، MCC1289، MCC1041، MCC1132، MCC1276، MCC1211، MCC1043، MCC1147 و MCC1148 از نظر عامل‌های اول و دوم به‌عنوان متحمل‌ترین ژنوتیپ‌ها نسبت به تنش شوری معرفی شدند.

نتایج تجزیه خوشه‌ای ژنوتیپ‌های مورد مطالعه نخود کابلی نشان‌دهنده قرارگیری آنها در چهار گروه مجزا بود که به ترتیب ۲۵، ۱۹، ۸ و ۲۰ ژنوتیپ در گروه‌های اول تا چهارم قرار گرفتند (شکل ۳).



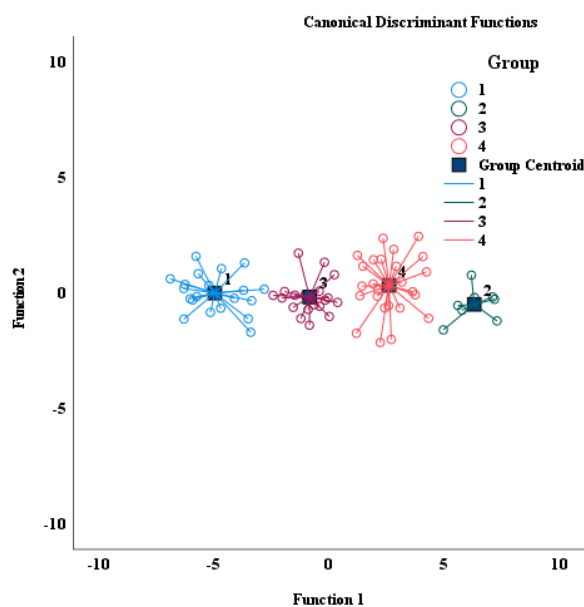
جدول ۶- تجزیه واریانس چند متغیره بر پایه طرح کاملاً تصادفی نامتعادل، آماره ویلکس لامبدا در ژنوتیپ‌های نخود تحت تنش شوری

عملکرد	درجه آزادی	آماره ویلکس لامبدا	کای اسکور	سطح احتمال
۱	۳۶	۰/۰۴۱	۲۰۱	۰/۰۰۰
۲	۲۲	۰/۶۷۵	۲۴/۷۵	۰/۳۰۹
۳	۱۰	۰/۸۸۱	۸/۰۰	۰/۶۲۸

جدول ۷- نتایج تابع تشخیص برای صحت گروه‌بندی ژنوتیپ‌های عدس تحت تنش شوری

گروه	گروه‌بندی				کل
	۱	۲	۳	۴	
کل	۲۰	۰	۰	۰	۲۰
	۰	۸	۰	۰	۸
	۰	۰	۱۹	۰	۱۹
	۰	۰	۰	۲۴	۲۴
درصد	۱۰۰	۰	۰	۰	۱۰۰
	۰	۱۰۰	۰	۰	۱۰۰
	۰	۰	۱۰۰	۰	۱۰۰
	۰	۰	۰	۹۶	۱۰۰

۹۸/۶ درصد موارد گروه‌بندی شده اصلی به درستی تقسیم‌بندی شده‌اند.



شکل ۴- گروه‌بندی ژنوتیپ‌های نخود بر اساس متغیرهای کانونیک معنی‌دار تحت تنش شوری

صحت گروه‌بندی‌های انجام‌شده از روش تجزیه خوشه‌ای، با استفاده از تجزیه تابع تشخیص انجام شد (جدول ۷). نتایج به‌دست آمده نشان می‌دهد گروه‌بندی تمامی ژنوتیپ‌ها به طرز صحیحی انجام شدند و میزان موفقیت کل تابع تشخیص برای تمام گروه‌ها بجز گروه هفت که چهار درصد ژنوتیپ‌ها در گروه خود قرار نگرفته‌اند، ۱۰۰ درصد بوده است. دیگر

صحت گروه‌بندی‌های انجام‌شده از روش تجزیه خوشه‌ای، با استفاده از تجزیه تابع تشخیص انجام شد (جدول ۷). نتایج به‌دست آمده نشان می‌دهد گروه‌بندی تمامی ژنوتیپ‌ها به طرز صحیحی انجام شدند و میزان موفقیت کل تابع تشخیص برای تمام گروه‌ها بجز گروه هفت که چهار درصد ژنوتیپ‌ها در گروه خود قرار نگرفته‌اند، ۱۰۰ درصد بوده است. دیگر

جدول ۸- ضرایب استاندارد کانونیک صفت اندازه گیری شده در ژنوتیپ های نخود تحت تنش شوری

صفت	عملکرد کانونیک		
	۱	۱	۳
بقا	۰/۳۶۵	۰/۵۷۴*	-۰/۰۴۳
کلروفیل a	۰/۳۸۹	۲/۵۳۴	-۳/۷۱۴*
کلروفیل b	-۰/۰۲۶	-۰/۱۸۳	۲/۷۸۹*
کلروفیل a / کلروفیل b	۰/۴۸۹	۰/۰۸۵*	۲/۲۰۰
کاروتنوئیدها	-۰/۶۲۴	-۲/۵۹۰*	۰/۴۹۰
رنگ دانه کل	۱/۱۲۹*	۰/۱۰۷	-۰/۱۳۲
فنل کل	۰/۰۱۳	-۰/۴۰۷	۰/۵۱۴*
کربوهیدرات های محلول	-۰/۱۱۴	۰/۵۳۰	-۰/۲۶۰*
مالون دی آلدئید	۰/۱۱۲	۰/۲۳۹	۰/۲۵۶*
پتانسیل اسمزی	۰/۰۵۷	-۰/۰۱۶	-۰/۰۱۲*
پرولین	-۰/۳۱۴	-۰/۴۵۱*	-۰/۲۷۶
مهار فعالیت رادیکال آزاد DPPH	-۰/۱۷۳	-۰/۳۵۴	-۰/۵۰۵*
مقدار ویژه	۱۵/۶	۰/۳۰۵	۰/۱۳۵
درصد تجمعی	۹۷/۳	۹۹/۳	۱۰۰
ضریب کانونیک	۰/۹۷**	۰/۴۳	۰/۳۵

\*: بالاترین همبستگی مشاهده شده بین هر صفت و متغیر کانونیک

جدول ۹- تجزیه واریانس (میانگین مربعات) گروه ها بر اساس صفت مورد مطالعه نخود تحت تنش شوری

صفت	بین گروه ها	درون گروه ها
درجه آزادی	۳	۶۸
بقا	۷۴۴*	۲۸۱*
کلروفیل a	۰/۰۴۸	۰/۰۳۴ ns
کلروفیل b	۰/۰۰۷	۰/۰۰۳ ns
کلروفیل a / کلروفیل b	۰/۰۴۴	۰/۱۴۰ ns
کاروتنوئیدها	۰/۰۰۵	۰/۰۰۲ ns
رنگ دانه کل	۰/۱۳۱	۰/۰۷۴ ns
فنل کل	۹۳۵۲۱**	۳۶۸**
کربوهیدرات های محلول	۰/۰۶۸	۰/۰۴۶ ns
مالون دی آلدئید	۳۸۱	۱۶۲ ns
پتانسیل اسمزی	۰/۰۲۲	۰/۲۹۱ ns
پرولین	۲/۸ ns	۳/۶۶ ns
مهار فعالیت رادیکال آزاد DPPH	۰/۰۴۱ ns	۰/۰۴۱ ns
محتوای نسبی آب برگ	۱۳۷*	۴۲/۰*

ns, \*\*, \* و \* به ترتیب غیرمعنی دار در سطح احتمال پنج درصد و معنی دار سطح احتمال پنج و یک درصد

جدول ۱۰- مقایسه میانگین و انحراف از میانگین صفات گروه‌ها در بررسی در ژنوتیپ‌های نخود تحت تنش شوری

خوشه ۱	خوشه ۲	خوشه ۳	خوشه ۴	کل
MCC1040, MCC1043, MCC1057, MCC1058, MCC1059, MCC1122, MCC1128, MCC1134, MCC1139, MCC1143, MCC1144, MCC1145, MCC1147, MCC1209, MCC1213, MCC1235, MCC1250, MCC1254, MCC1280, MCC1297	MCC1302, MCC1038, MCC1211, MCC1277, MCC1278, MCC1286, MCC1291, MCC1294	MCC1037, MCC1039, MCC1042, MCC1061, MCC1072, MCC1073, MCC1075, MCC1077, MCC1087, MCC1100, MCC1115, MCC1127, MCC1130, MCC1131, MCC1135, MCC1136, MCC1148, MCC1246, MCC1284	MCC1030, MCC1035, MCC1036, MCC1041, MCC1063, MCC1090, MCC1113, MCC1129, MCC1132, MCC1138, MCC1140, MCC1141, MCC1212, MCC1214, MCC1234, MCC1236, MCC1249, MCC1276, MCC1289, MCC1295, MCC1296, MCC1298, MCC1299, MCC1300, MCC1303	
تعداد ژنوتیپ‌ها	۲۰	۸	۲۵	۷۲
بقاء	۹۱/۰±۱۳/۷	۸۲/۳ <sup>ab</sup> ±۱۲/۹	۸۷/۰ <sup>ab</sup> ±۱۴/۵	۸۴/۳±۱۷/۳
کلروفیل a	۰/۷۳۷±۰/۱۳۸	۰/۸۳۸±۰/۱۷۹	۰/۷۳۷±۰/۲۰۵	۰/۷۷۸±۰/۱۸۶
کلروفیل b	۰/۳۴۰ <sup>b</sup> ±۰/۰۴۳	۰/۳۸۶±۰/۰۶۴	۰/۳۳۶±۰/۰۵۶	۰/۳۵۲±۰/۰۵۹
نسبت کلروفیل a/b	۲/۱۸±۰/۳۴۴	۲/۱۷±۰/۳۲۴	۲/۱۸±۰/۴۳۸	۲/۲۱±۰/۳۶۹
کاروتنوئیدها	۰/۱۵۳±۰/۰۳۵	۰/۱۷۹±۰/۰۵۰	۰/۱۵۷±۰/۰۵۲	۰/۱۶۸±۰/۰۴۸
رنگ‌دانه کل	۱/۲۳±۰/۱۹۳	۱/۴۰±۰/۲۷۴	۱/۲۳±۰/۲۳۰	۱/۳۰±۰/۲۷۷
فنل کل	۶/۸۸±۲۲/۷	۲۵۹±۲۰/۸	۱۳۹±۱۲/۷	۱۵۲±۶۵/۶
کربوهیدرات‌های محلول	۰/۵۵۴±۰/۱۶۵	۰/۵۴۱±۰/۳۵۲	۰/۴۵۳±۰/۱۴۸	۰/۵۳۸±۰/۲۱۷
مالون دی‌آلدئید	۲۷/۸±۱۰/۹	۲۰/۱±۱۳/۳	۲۷/۷±۱۴/۴	۲۴/۱±۱۳/۱
پتانسیل اسمزی	-۲/۸۶±۰/۴۲۷	-۲/۸۱±۰/۶۵۴	-۲/۷۸±۰/۶۰۶	-۲/۸۱±۰/۵۲۹
پرولین	۴/۹۶±۱/۷۱	۵/۷۱±۱/۷۴	۴/۸۷±۲/۰۴	۵/۲۳±۱/۹۰
محتوای نسبی آب	۶۶/۵±۶/۵۱	۵۸/۷±۱۲/۲	۶۶/۷±۴/۸۲	۶۵/۳±۶/۸
مهار فعالیت رادیکال آزاد DPPH	۰/۶۴۱±۰/۱۶۸	۰/۵۰۶±۰/۲۴۵	۰/۶۳۸±۰/۱۶۲	۰/۶۲۳±۰/۲۰۳

واحد اندازه‌گیری صفات: بقاء (درصد)، کلروفیل a، کلروفیل b، کاروتنوئیدها، رنگ‌دانه کل، فنل کل، کربوهیدرات‌های محلول و پرولین (میلی‌گرم در گرم وزن تر)؛ مالون دی‌آلدئید (نانومول بر گرم وزن تر)؛ محتوای نسبی آب (درصد)؛ مهار فعالیت رادیکال آزاد DPPH (میلی‌گرم در گرم وزن تر)

(۱۰۰ درصد) و کمترین میزان آن بین گروه‌های ۱ و ۲ (۹۷/۳ درصد) وجود دارد.

ضرایب استاندارد شده کانونیکی میزان فنل کل در معادله اول تشخیصی کانونیکی قابل توجه است. از طرفی ضرایب صفات درصد بقاء، نسبت کلروفیل a/b، میزان کاروتنوئید و میزان DPPH در دومین معادله تشخیصی کانونیکی بالا بود (جدول ۸). این نتایج نشان می‌دهد که این صفات بیشترین تأثیر را در تنوع بین ژنوتیپ‌ها دارند.

مطالعات نیز از تجزیه تابع تشخیص برای بررسی صحت

گروه‌بندی ژنوتیپ‌های نخود استفاده کرده‌اند (Alipoor, Yamchi et al., 2013).

گروه‌بندی ژنوتیپ‌ها براساس متغیرهای کانونیکی نشان می‌دهد که بیشترین فاصله به ترتیب بین گروه‌های ۲ با ۳، ۲ با ۱ و ۱ با ۴ مشاهده می‌شود. همچنین، کمترین فاصله بین گروه‌های ۲ با ۴ و ۴ با ۳ وجود دارد (شکل ۴). داده‌های جدول ۸ نیز نشان می‌دهد که بیشترین درصد تجمع صفات بین گروه‌های ۳ و ۴

### نتیجه‌گیری

این پژوهش نشان داد که ژنوتیپ‌های مورد بررسی سطح تحمل متفاوتی نسبت به تنش شوری دارند. به‌طورکلی، بیشتر صفات مورد بررسی همبستگی منفی با درصد بقاء داشتند، اگر چه از نظر آماری معنی‌دار نبود. تنها، پتانسیل اسمزی همبستگی مثبتی با درصد بقاء داشتند. به‌طورکلی، گروه اول دارای درصد بقای بالاتری نسبت به دیگر گروه‌ها بود. در کل، تمام ژنوتیپ‌های دارای درصد بقای بالای ۷۵، نسبت به شوری تحمل مناسبی داشتند که می‌توانند در مطالعات به‌گزینی دیگر مورد استفاده قرار گیرند.

تجزیه واریانس صفات مورد بررسی بین گروه‌ها نشان داد که در تنها در سه صفت مورد بررسی شامل درصد بقای بوته، میزان فنل کل و محتوای نسبی آب برگ اختلاف معنی‌داری بین گروه‌ها مشاهده شد (جدول ۹).

بررسی تجزیه خوشه‌ای صفات مورد بررسی نشان داد که گروه یک دارای بیشترین درصد بقای بوته بوده و از این نظر تفاوت معنی‌داری با گروه چهارم نشان داد. همچنین، گروه دوم در مقایسه با دیگر گروه‌ها، دارای بیشترین محتوای کلروفیل a و b، کاروتنوئیدها و فنل کل بود. اگر چه، محتوای کربوهیدرات‌های محلول، MDA، پتانسیل اسمزی، پرولین و مهار فعالیت رادیکال‌های آزاد DPPH تفاوت آماری معنی‌داری بین گروه‌ها نشان نداد (جدول ۱۰).

### منابع

- Abe, N., Murata, T. and Hirota, A. (1998) Novel DPPH radical scavengers, bisorbicillinol and demethyltrichodimerol, from a fungus. *Bioscience, Biotechnology and Biochemistry* 62: 661-666.
- Ahamed, G. J., Li, Y., Li, X., Han, W. Y. and Chen, S. (2018) Epigallocatechin-3-gallate alleviates salinity-retarded seed germination and oxidative stress in tomato. *Journal of Plant Growth Regulation* 37: 1349-1356.
- Al Abdallah, Q., Nixon, B. T. and Fortwendel, J. R. (2016) The enzymatic conversion of major algal and cyanobacterial carbohydrates to bioethanol. *Frontiers in Energy Research* 4: 1-15.
- Alipoor Yamchi, H., Bihanta, M., Peyghambari, S. A., Naghavi, M. and Majnoon Hoseini, N. (2013) Grouping of Kabuli chickpea genotypes using multivariate statistical methods. *Iranian Journal Pulses Research* 4: 15-25.
- Apse, M. P., Aharon, G. S., Snedden, W. A. and Blumwald, E. (1999) Salt tolerance conferred by overexpression of a vacuolar Na<sup>+</sup>/H<sup>+</sup> antiport in *Arabidopsis*. *Science* 285: 1256-1258.
- Araujo, S. S., Beebe, S., Crespi, M., Delbreil, B., Gonzalez, E. M., Gruber, V. and Patto, M. C. (2015) Abiotic stress responses in legumes: Strategies used to cope with environmental challenges. *Critical Reviews in Plant Sciences* 34: 237-280.
- Asch, F., Dingkuhn, M. and Dorffling, K. (2000) Salinity increases CO<sub>2</sub> assimilation but reduces growth in field-grown, irrigated rice. *Plant and Soil* 218: 1-10.
- Awlia, M., Nigro, A., Fajkus, J., Schmoeckel, S. M., Negrao, S., Santelia, D., Trtilek, M., Tester, M., Julkowska, M. M. and Panzarova, K. (2016) High-throughput non-destructive phenotyping of traits that contribute to salinity tolerance in *Arabidopsis thaliana*. *Frontiers in Plant Science* 7: 1414.
- Bates, L. S., Waldren, R. P. and Teare, I. D. (1973) Rapid determination of free proline for water-stress studies. *Plant and Soil* 39: 205-207.
- Berger, E., Fror, O. and Schafer, R. B. (2019) Salinity impacts on river ecosystem processes: A critical mini-review. *Philosophical Transactions of the Royal Society B* 374: 1-10.
- Bohnert, H. J., Su, H. and Shen, B. (1999) Molecular Mechanisms of Salinity Tolerance. *Molecular Responses to Cold, Drought, Heat and Salt Stress in Higher Plants*. 1<sup>st</sup> Ed. TX: RG Landes Company, Austin.
- Boschin, G., Scigliuolo, G. M., Resta, D. and Arnoldi, A. (2014) ACE-inhibitory activity of enzymatic protein hydrolysates from lupin and other legumes. *Food Chemistry* 145: 34-40.
- Bulsecu, A. N., Giblin, A. E., Tucker, J., Murphy, A. E., Sanderman, J., Hiller-Bittrolff, K. and Bowen, J. L. (2019) Nitrate addition stimulates microbial decomposition of organic matter in salt marsh sediments. *Global Change Biology* 25: 3224-3241.
- Conde, C., Silva, P., Agasse, A., Lemoine, R., Delrot, S., Tavares, R. and Geros, H. (2007) Utilization and transport of mannitol in *Olea europaea* and implications for salt stress tolerance. *Plant and Cell Physiology* 48: 42-53.



- Dashti, H., Westler, W. M., Tonelli, M., Wedell, J. R., Markley, J. L. and Eghbalnia, H. R. (2017) Spin system modeling of nuclear magnetic resonance spectra for applications in metabolomics and small molecule screening. *Analytical Chemistry* 89: 12201-12208.
- Delauney, A. J. and Verma, D. P. (1993) Proline biosynthesis and osmoregulation in plants. *The Plant Journal* 4: 215-223.
- Dere, S., Gines, T. and Sivaci, R. (1998) Spectrophotometric determination of chlorophyll a, b and total carotenoid contents of some algae species using different solvents. *Turkish Journal of Botany* 22: 13-17.
- Dietz, K. J., Tavakoli, N., Kluge, C., Mimura, T., Sharma, S. S., Harris, G. C. and Golldack, D. (2001) Significance of the V-type ATPase for the adaptation to stressful growth conditions and its regulation on the molecular and biochemical level. *Journal of Experimental Botany* 52: 1969-1980.
- Dubois, M., Gilles, G. A., Hamilton, J. K., Rober, P. A. and Smith, F. (1951) Colorimetric estimation of carbohydrates by phenol sulphuric acid method. *Analytical Chemistry* 28: 350-356.
- Fatima, A., Singh, G., Patel, A., Tiwari, S., Gupta, D., Prajapati, D. K. and Prasad, S. M. (2021) Effects of salt stress on osmolyte metabolism of crop plants and mitigating strategy by osmolyte. *Physiology of Salt Stress in Plants: Perception, Signalling, Omics and Tolerance Mechanism* 177-197.
- Gupta, B. and Huang, B. (2014) Mechanism of salinity tolerance in plants: Physiological, biochemical, and molecular characterization. *International Journal of Genomics* 1-18.
- Heath, R. L. and Packer, L. (1968) Photoperoxidation in isolated chloroplasts: I. Kinetics and stoichiometry of fatty acid peroxidation. *Archives of Biochemistry and Biophysics* 125: 189-198.
- Hoagland, D. R. and Arnon, D. I. (1950) *The Water-Culture Method for Growing Plants Without Soil*. 2<sup>nd</sup> Ed. Circular. California Agricultural Experiment Station 347.
- Hussain, S., Bai, Z., Huang, J., Cao, X., Zhu, L., Zhu, C. and Zhang, J. (2019) 1-Methylcyclopropene modulates physiological, biochemical, and antioxidant responses of rice to different salt stress levels. *Frontiers in Plant Science* 10: 1-18.
- Jaleel, C. A., Gopi, R., Sankar, B., Manivannan, P., Kishorekumar, A., Sridharan, R. and Panneerselvam, R. (2007) Studies on germination, seedling vigour, lipid peroxidation and proline metabolism in *Catharanthus roseus* seedlings under salt stress. *South African Journal of Botany* 73: 190-195.
- Joseph, E. A., Radhakrishnan, V. V. and Mohanan, K. V. (2015) A study on the accumulation of proline-an osmoprotectant amino acid under salt stress in some native rice cultivars of North Kerala, India. *Universal Journal of Agricultural Research* 3: 15-22.
- Kafi, M., Bagheri, A., Nabati, J., Zare Mehrjerdi, M. and Masomi, A. (2011) Effect of salinity on some physiological variables of 11 chickpea genotypes under hydroponic conditions. *Journal of Soil and Plant Interactions-Isfahan University of Technology* 1: 55-70.
- Kafi, M., Nabati, J. and Nezami, A. (2020) Evaluation of salinity tolerance of kabuli-type chickpea genotypes (*Cicer arietinum* L.) at seedling stage in hydroponic condition. *Iranian Journal of Field Crop Science* 51: 39-54.
- Kaur, N., Kumar, A., Kaur, K., Gupta, A. K. and Singh, I. (2014) DPPH radical scavenging activity and contents of H<sub>2</sub>O<sub>2</sub>, malondialdehyde and proline in determining salinity tolerance in chickpea seedlings. *Indian Journal of Biochemistry and Biophysics* 51: 407-415.
- Khedr, R. A., Sorour, S. G. R., Aboukhadrah, S. H., El Shafey, N. M., Abd Elsalam, H. E., El-Sharnouby, M. E. and El-Tahan, A. M. (2022) Alleviation of salinity stress effects on agro-physiological traits of wheat by auxin, glycine betaine, and soil additives. *Saudi Journal of Biological Sciences* 29: 534-540.
- Kovac, D., Vesela, B., Klem, K., Vecerova, K., Kmecova, Z. M., Penuelas, J. and Urban, O. (2020) Correction of PRI for carotenoid pigment pools improves photosynthesis estimation across different irradiance and temperature conditions. *Remote Sensing of Environment* 244: 111834.
- Kucuk, M., Kolaylı, S., Karaoglu, S., Ulusoy, E., Baltaci, C. and Candan, F. (2007) Biological activities and chemical composition of three honeys of different types from Anatolia. *Food Chemistry* 100: 526-534.
- Kumari, S., Vaishnav, A., Jain, S., Varma, A. and Choudhary, D. K. (2015) Bacterial-mediated induction of systemic tolerance to salinity with expression of stress alleviating enzymes in soybean (*Glycine max* L. Merrill). *Journal of Plant Growth Regulation* 34: 558-573.
- Maathuis, F. J., Ahmad, I. and Patishtan, J. (2014) Regulation of Na<sup>+</sup> fluxes in plants. *Frontiers in Plant Science* 5: 1-9.
- Maliro, M. F., McNeil, D., Kollmorgen, J., Pittock, C. and Redden, R. (2004) Screening chickpea (*Cicer arietinum* L.) and wild relatives germplasm from diverse country sources for salt tolerance. In *Proceedings of the 4<sup>th</sup> International Crop Science Congress* 26: 274.
- Mansour, M. M. and Ali, E. F. (2017) Evaluation of proline functions in saline conditions. *Phytochemistry* 140: 52-68.
- Moayedinezhad, A., Mohammadparast, B., Hosseini Salekdeh, G., Mohsenifard, E. and Nejatian, M. A. (2020) Effects of drought stress on total phenolics, phenolic acids, polyamines and some organic acids in two important Iranian grapevine cultivars. *Plant Process and Function* 8: 19-26.

- Muchate, N. S., Nikalje, G. C., Rajurkar, N. S., Suprasanna, P. and Nikam, T. D. (2016) Plant salt stress: Adaptive responses, tolerance mechanism and bioengineering for salt tolerance. *The Botanical Review* 82: 371-406.
- Munns, R. and Tester, M. (2008) Mechanisms of salinity tolerance. *Annual Review of Plant Biology* 59: 651-681.
- Nasiri, Z., Nabati, J., Nezami, A. and Kafi, M. (2021) Screening of Kabuli-type chickpea genotypes for salinity tolerance under field condition. *Environmental Stresses in Crop Sciences* 14: 1055-1068.
- Pandey, R., Kumar, R., Singh, S. P., Saxena, D. K. and Srivastava, S. P. (1999) Male reproductive effect of nickel sulphate in mice. *Biometals* 12: 339-346.
- Peng, J., Wegner, C. E. and Liesack, W. (2017) Short-term exposure of paddy soil microbial communities to salt stress triggers different transcriptional responses of key taxonomic groups. *Frontiers in Microbiology* 8: 1-12.
- Pushpavalli, R., Quealy, J., Colmer, T. D., Turner, N. C., Siddique, K. H., Rao, M. V. and Vadez, V. (2016) Salt stress delayed flowering and reduced reproductive success of chickpea (*Cicer arietinum* L.), a response associated with Na<sup>+</sup> accumulation in leaves. *Journal of Agronomy and Crop Science* 202: 125-138.
- Reginato, M., Luna, V. and Papenbrock, J. (2021) Current knowledge about Na<sub>2</sub>SO<sub>4</sub> effects on plants: What is different in comparison to NaCl?. *Journal of Plant Research* 134: 1159-1179.
- Safikhani, F., Heydari Sharifabad, H., Syadat, A., Sharifi Ashorabadi, E., Syednedjad, S. M. and Abbaszadeh, B. (2007) The effect of drought stress on percentage and yield of essential oil and physiological characteristics of *Deracocephalum moldavica* L. *Iranian Journal of Medicinal and Aromatic Plants Research* 23: 86-99.
- Samanthi, K. A. U., Wickramaarachchi, S., Wijeratne, E. M. K. and Paranagama, P. A. (2015) Two new antioxidant active polyketides from *Penicillium citrinum*, an endolichenic fungus isolated from Parmotrema species in Sri Lanka. *Journal of the National Science Foundation of Sri Lanka* 2015 43: 119-126.
- Sarker, U. and Oba, S. (2020) The response of salinity stress-induced *A. tricolor* to growth, anatomy, physiology, non-enzymatic and enzymatic antioxidants. *Frontiers in Plant Science* 11: 1-14.
- Singleton, V. L. and Rossi, J. A. (1965) Colorimetry of total phenolics with phosphomolybdic-phosphotungstic acid reagents. *American Journal of Enology and Viticulture* 16: 144-158.
- Smart, R. E. and Bingham, G. E. (1974) Rapid estimates of relative water content. *Plant Physiology* 53: 258-260.
- Turner, N. C., Colmer, T. D., Quealy, J., Pushpavalli, R., Krishnamurthy, L., Kaur, J. and Vadez, V. (2013) Salinity tolerance and ion accumulation in chickpea (*Cicer arietinum* L.) subjected to salt stress. *Plant and Soil* 365: 347-361.
- Wang, Y., Pedersen, C. M., Qiao, Y., Deng, T., Shi, J. and Hou, X. (2015) In situ NMR spectroscopy: Inulin biomass conversion in ZnCl<sub>2</sub> molten salt hydrate medium-SnCl<sub>4</sub> addition controls product distribution. *Carbohydrate Polymers* 115: 439-443.
- Wu, D., Cai, S., Chen, M., Ye, L., Chen, Z., Zhang, H. and Zhang, G. (2013) Tissue metabolic responses to salt stress in wild and cultivated barley. *PLoS One* 8: e55431.

## Study of the effect of salt stress on biochemical traits of chickpea genotypes (*Cicer arietinum*)

Jafar Nabati \*<sup>1</sup>, Rezvan Ramezannejad<sup>2</sup>, Ahmad Nezami<sup>3</sup>

<sup>1</sup> Plant Sciences Research Institute, Ferdowsi University of Mashhad, Iran

<sup>2</sup> PhD in Plant Physiology, Academic Center for Education, Culture and Research: ACECR, Khorasan Razavi Province, Mashhad, Iran

<sup>3</sup> Department of Agrotechnology, Faculty of Agriculture Ferdowsi University of Mashhad, Mashhad, Iran

(Received: 09/07/2022, Accepted: 20/12/2022)

### Abstract

Salinity is one of the most important non-biological stresses that has an adverse effect on the growth and production of crops. Chickpea (*Cicer arietinum* L.) is sensitive to salt stress. This study was performed to select the salt tolerance genotypes of chickpea. For this purpose, 72 genotypes were screened for dSm-112 salinity tolerance. This study was performed in a completely randomized design with three replications as hydroponic culture. Among the studied genotypes, 53 genotypes had a survival of more than 75%, and no genotype had a survival of less than 25%. The highest mean content of soluble carbohydrates, total phenol, proline, osmotic potential, inhibition of free radical activity of DPPH and relative water content were observed in genotypes with a survival range of 100-76%. The mean malondialdehyde content was highest in genotypes with a survival range of 50-26%. The results of cluster analysis showed the relative superiority of the second group genotypes including MCC1037, MCC1212, MCC1286, MCC1138, MCC1278, MCC1129, MCC1140, MCC1234, MCC1299, MCC1289, MCC1041, MCC1132, MCC1276, MCC1211, MCC1211 and MCC1010 in most of the studied traits. Chickpea genotypes appear to use a variety of mechanisms to tolerate salinity, which helps to replace more salinity-tolerant genotypes in tolerant chickpea.

**Keywords:** Survival, Reproduction, Screening, Salinity tolerance, Hydroponics

Corresponding author, Email: jafarnabati@ferdowsi.um.ac.ir